

اتجاهات التغير في الجفاف المناخي والهيدرولوجي وعلاقتها بالدورات الهوائية العامة في الدلتا المصرية خلال الفترة ١٩٥٠-٢٠١٥

"دراسة مناخية"

د. محمد محمد عبد العال إبراهيم*

الملخص :

يُعد الجفاف خطراً طبيعياً معدناً، له تأثيرات ضارة بيئية واقتصادية واجتماعية (على سبيل المثال: الهيدرولوجيا ومصادر المياه وضعف المحاصيل والتلوّن البيولوجي، وغيرها)، كما تعاني كثيرة من مناطق العالم من نوبات الجفاف الشديدة والمتركرة خلال العقود القليلة الماضية، لذا تهدف تلك الدراسة إلى تقييم التغيرات المكانية والزمنية طويلة الأمد لجفاف الأرصاد الجوية والهيدرولوجية مقارنة بالأحداث الرطبة في الدلتا، وهي إحدى المناطق الساخنة في مصر من حيث الوزن السكاني والأهمية الاقتصادية. وقد تم إجراء هذا التقييم للفترة من عام ١٩٥٠ إلى عام ٢٠١٦ باستخدام مؤشر المؤشر المعياري للتساقط المطري والتباخر التنجي (SPEI)، والذي يمكن حسابه باستخدام مدخلات مختلفة لعدة متغيرات مناخية (مثلاً: درجة حرارة الهواء والأمطار وسرعة الرياح وضغط الهواء وأشعة الشمس، والرطوبة النسبية). وقد مثلت الدلتا بعدد ٢٢ نقطة شبكة Grid، كما استُخدم المؤشر SPEI بمقاييس زمنية مختلفة (١، ٣، ٦، ٩، ١٢، ٢٤ شهراً)، مما يسمح بتوصيف كل من آثار الأرصاد الجوية والهيدرولوجية والزراعية للتغيرات المناخية الحديثة في الدلتا. وقد تم تقييم التغيرات في وتيرة الجفاف باستخدام إحصائية سبيرمان (رو) اللامعمية؛ حيث تشير النتائج عموماً إلى زيادة ذات دلالة إحصائية في توافر الجفاف خلال فترة الدراسة، وباللغة ٦٦ سنة، كان هذا الاتجاه الإيجابي نحو الزيادة أكثر وضوحاً في الأجزاء الجنوبية والجنوبية الغربية من الدلتا. كذلك تم ربط تقلبات الجفاف أيضاً بمجموعة من الأنماط الرئيسية للدورات الهوائية في الغلاف الجوي، والتي تفسر في الغالب تقلب المناخ في المناطق التي تقع خارج النطاق المداري والعروض الوسطى، ومنها: تندب شمال الأطلسي (NAO)، ومؤشر التندب الجنوبي (SOI)، ومؤشر تندب البحر الأبيض المتوسط (MOI). كما تشير النتائج إلى أن هناك علاقة ذات دلالة إحصائية بين تقلبات الجفاف وأنماط الدورة الهوائية العامة عند مستوى دلالة ٩٥٪ ($P < 0.05$). كذلك ومن أجل

* مدرس الجغرافيا الطبيعية، قسم الدراسات الاجتماعية، كلية التربية - جامعة المنصورة.

تقييم المساهمة النسبية للمتغيرات المناخية المحلية المختلفة لنطمور الجفاف طبقاً لتحليل الارتباط الجزئي، وقد أظهرت النتائج أن تساقط الأمطار هو أكثر المتغيرات السائدة التي تسهم في نطمور الجفاف في الدلتا. أيضاً تم تقييم تأثيرات تقلبات الجفاف على ضعف المحاصيل الزراعية وإنتجها في الدلتا خلال الفترة من ٢٠٠٠ إلى ٢٠١٥، مع التركيز بشكل خاص على القمح والبرسيم، وقد تم التحقق من هذه الآثار، خاصة بالنسبة للمحافظات ذات المساحة الأكبر، والأكثر إنتاجية لتلك المحاصيل.

الكلمات المفتاحية: الجفاف، المؤشر المعياري للأمطار والتباخر النتحي، اتجاه التغير، الدورات الهوائية العامة، الدلتا المصرية.

المقدمة :

تُعد التغيرات المناخية أحد أهم التحديات البيئية العالمية، والتي يظهر تأثيرها على النظم الإيكولوجية الطبيعية وإمدادات المياه العذبة، بل تمتد تأثيراتها على كافة المجتمعات، خاصة خلال القرن الحادي والعشرين (Bohn and Piccolo, 2018). وتختضع المناطق المحيطة بالبحر المتوسط في كل من جنوب أوروبا وشمال أفريقيا والشرق الأوسط إلى تغييرات مناخية دراماتيكية، تؤثر على استدامة الموارد المائية، وكميتها، وجودتها، وإدارتها، بما يشكل مصدر قلق كبير، يؤدي إلى زيادة في الطلب على المياه خلال القرن الحالي (Iglesias, et al., 2007; Garca-Ruiz, et al., 2011, Cook, et al., 2016)، علمًا بأن أكثر من نصف أراضي حوض البحر الأبيض المتوسط المخصصة للزراعة تستهلك ما يقرب من ٦٠-٨٠٪ من إمدادات المياه بالمنطقة (ESPERE, 2006; Hoerling, et al., 2012)، فلتقلبات الجفاف والرطوبة آثار عميقه على النظم البيئية والزراعية والهيدرولوجية وإدارة المياه، خاصة في المناطق الفاحلة وشبه الفاحلة، حيث تحكم ردود فعل أحاديث الجفاف والرطوبة بتلك المناطق في مدى وفرة المياه وانتظامها داخل هيئة الأرض، وتؤثر أيضًا على توزيع النباتات والنماذج الزراعية السائدة (Tao, et al., 2014).

ويُعد الجفاف من أصعب الأخطار المناخية التي يمكن إدراكتها وفهمها وتمييزها؛ نظرًا لطبيعته المعقدة ولصعوبية تقدير شدته؛ لأننا نميز الجفاف بأثاره وتأثيراته على أنواع النظم المختلفة (الزراعة وموارد المياه والبيئة والغابات والاقتصاد، وغيرها)، ولكن لا يوجد متغير طبيعي واحد فقط يمكن قياسه؛ لتحديد كمية أو قيمة الجفاف، وكذلك تحديد حالاته في الزمان والمكان، خاصة تحديد اللحظة التي يبدأ فيها الجفاف وينتهي، وكذلك قياس مدتھا وحجمها ومداها المكاني (Vicente-Serrano, et al., 2012; Spinoni, et al., 2019). بل يعتبر الجفاف أحد أغلى

الكوارث الطبيعية والبيئية وأكثرها انتشاراً، لما له من آثار سلبية على الزراعة، وموارد المياه، والنظم الإيكولوجية الطبيعية، وأنشطة المجتمع كافة، فعلى سبيل المثال تقدر متوسط التكلفة أو الخسائر التي يسببها الجفاف سنوياً على مستوى العالم بحوالي من ٦ إلى ٨ مليارات دولار تقريباً، والتي تؤثر بشكل جماعي على عدد أكبر من الأشخاص مقارنة بأي كارثة طبيعية أخرى (Li, et al., 2015; Bae, et al., 2018, Benitez and Domecq, 2014). كما تراكم آثار الجفاف ببطء وعلى مدى فترة زمنية طويلة، وقد تبقى لسنوات بعد انتهاء الحدث، ولذا يشار غالباً إلى الجفاف بأنه ظاهرة أو كارثة زاحفة (A creeping phenomenon Koutroulou, et al., 2011).

تبين أنواع وأنماط الجفاف، لذا لا يوجد تعريف فريد للجفاف؛ بسبب تباين الخصائص البيئية والاقتصادية والاجتماعية للمناطق الجغرافية، ولذا فقد أمكن تمييز عدة حالات وأنواع للجفاف، وهي: الجفاف المناخي حيث انحراف الأمطار عن معدلاتها الطبيعي أو متوسط كميتها سلباً والزراعي وهو الظروف التي لا تستطيع عندها رطوبة التربة أن تلبي احتياجات النبات، والهيدرولوجي يظهر خلال آثار فترات نقص الأمطار على إمدادات المياه السطحية وتحت السطحية كتدفق المجرى المائي ومستوى الخزانات والبحيرات والمياه الجوفية، والاجتماعي الاقتصادي حيث يربط العرض والطلب بعض السلع أو الخدمات الاقتصادية بعناصر الجفاف المناخي والزراعي والهيدرولوجي: بالنسبة للجفاف المناخي (Wilhite, 2000; BAMS, 2004; Mishra and Singh, 2010).

ولرصد الجفاف وقياسه، يجب التقييم الموضوعي والكمي لمدة الجفاف وشدة ومدة المكانى، وذلك عن طريق استخدام أدوات علمية، وهي: مؤشرات الجفاف، والتي يتم إنشاؤها بناءً على متغيرات مناخية وهيدرولوجية مختلفة ومتعددة، يمكنها أن تعكس جوانب مختلفة من الجفاف وخصائصه، وتحدد بدرجة كافية درجة مخاطر الجفاف على النظم البيئية، خاصة الحساسة منها، وقد بذلت كثير من الجهود خلال العقود الماضية لتطوير تلك المؤشرات المختلفة من خلال مناقشة عيوب ومبادرات كل منها على نطاقات جغرافية مختلفة وواسعة (Vicente-Serrano, et al., 2015). وقد أوضحت عدداً من الدراسات الارتباط القوي بين التغير الزمني لمؤشرات الجفاف المختلفة ومتغيرات الاستجابة للأنظمة الطبيعية، مثل: نمو الأشجار والغابات، والتصريف النهري، ومستوى المياه الجوفية، والمحاصيل الزراعية، والنشاط النباتي، ومنها: دراسات (Guadagno, 2010; Vergni and Todisco, 2011; McAuliffe and Hamerlynck, 2010). وتعرف مؤشرات الجفاف بأنها متغيرات أو معلمات رقمية، تستخدم لوصف حالات الجفاف، تشمل على مدخلات مناخية وهيدرولوجية وغيرها، على سبيل المثال: تساقط الأمطار، ودرجة الحرارة،

والاشعاع الشمسي، والتبخّر، والرياح، وتدفق المجرى المائي، والمياه الجوفية، ومستويات الحزان، ورطوبة التربة، ونوع التربة، ودرجة حرارة نقطة الندى، وكثافة الثلوج، والغطاء الأرضي، وبيانات المحاصيل، وبيانات مستشرعة، وغيرها. ولأنه لا يوجد تعريف موحد للجفاف، فلا يوجد مؤشر واحد يمكن أن يفسر ويطبق على جميع أنواع الجفاف وأنظمة المناخ والقطاعات المتضررة، ولذا تتعدد مؤشرات الجفاف وتختلف تبعاً لمدخلات تكوينها، وللهدف من استخدامها وسهولتها، وتبعاً لمدى ملاءمتها للبيئة الجغرافية، وقد تعددت وتتنوع تلك المؤشرات داخل خمسة أصناف رئيسية، وهي: مؤشرات مناخية أو للأرصاد الجوية، ومؤشرات لرطوبة التربة، ومؤشرات هيدرولوجية، ومؤشرات استشعار عن بعد، ومؤشرات مركبة أو منمنجة Composite Modeled (لتفاصيل يمكن الرجوع إلى: WMO, 2016).

وقد تعددت الدراسات التي استخدمت المؤشر المعياري للهطول والتبخّر النتحي Standardized Precipitation Evapotranspiration Index (SPEI) على المستوى العالمي والإقليمي، وذلك لقياس شدة الجفاف، ومدّاه، واتجاهات تغييره، ومنها على سبيل المثال على المستوى العالمي: دراسة Vicente-Serrano, et al., 2010a; Vicente-Serrano, et al., 2010b; Wang, et al., () 2014; Spinoni, et al., 2019 التي اهتمت بدراسة الخصائص الزمنية والمكانية للجفاف وبناء مؤشراته وتطويرها. أما على المستوى الإقليمي منها على سبيل المثال: دراسة (Alam, et al., 2017; Yu, et al., 2014; Hernandez and Uddameri, 2014; Yagoub, et al., 2017; Mathbout, et al., 2018; Nezhad, et al., 2018) عن التحليل المكاني والزمني لتقلبات الجفاف باستخدام مؤشر SPEI خلال نطاقات زمنية متعددة مناطق عديدة، وهي الهند، والصين، وأمريكا، والسودان، وسوريا، وإيران. أما على المستوى المحلي فتعددت الدراسات السابقة لمنطقة الدراسة وموضوعها، ومن أهمها: دراسة (أبو راضي، ١٩٧٢) عن الجغرافيا المناخية للدلتا المصرية، ودراسة (موسى، ٢٠٠٣) عن المناخ وأثره على المحاصيل الزراعية الرئيسية بين فرعى دمياط ورشيد، ودراسة (مجد، ٢٠٠٧) عن المخاطر المناخية وأثرها على الزراعة في الهوامش الغربية لدلتا النيل، ودراسة (حسان، ٢٠٠٩) عن التغير في بعض عناصر المناخ بדלתا النيل خلال القرن العشرين، ودراسة (بدوي، ٢٠١٢) عن أثر المناخ على التصحر في شرق الدلتا المصرية وغريها، حيث أشارت فقط إلى أهمية تطبيق مؤشر بالمر لقياس حدة الجفاف (PDSI)، ودراسة (إبراهيم، ٢٠١٢) كأول الدراسات التي تناولت أحداث الجفاف على مستوى السواحل المصرية باستخدام مؤشر المطر القياسي SPI للمستوى الزمني (شهر، ثلاثة شهور)، والتي بينت تأثير السواحل بالأحداث المتطرفة الرطبة أكثر من الأحداث الجافة؛ وذلك خلال النصف الثاني من القرن العشرين، ودراسة (إبراهيم، ٢٠١٨) عن الاتجاهات طويلة الأمد للتطرفات الحرارة اليومية في الدلتا المصرية، وكذلك دراسة (Ismail, 2016) في مراقبة اتجاهات الجفاف الناجمة عن تغير المناخ في مصر باستخدام

بيانات القمر الصناعي MODIS NDVI ومؤشرات الجفاف، حيث تعرضت لمؤشر SPEI بالنسبة لمتوسط الجمهورية فقط خلال النطاق الزمني (٦ ، ١٢) شهراً.

ومن خلال العرض السابق لأهم الدراسات السابقة التي تناولت منطقة الدراسة يتضح أهمية الدراسة الحالية، واختلافها، وتتميزها عن الدراسات السابقة في عدة نقاط، وهي: اهتمامها بتقييم اتجاهات الجفاف مقارنة بأحداث الرطوبة على مستوى مكاني دقيق، ذو أهمية، وهي الدلتا المصرية، وذلك خلال مستويات زمنية مختلفة ومنعددة قصيرة ومتوسطة وطويلة الأجل (١ ، ٣ ، ٩ ، ٩ ، ١٢ ، ٢٤)، توضح حالات الجفاف المناخي والزراعي والهيدرولوجي، وتحديد معدلات التكرار لأحداث الجفاف ومقارنتها بأحداث الرطوبة في منطقة الدلتا خلال الفترة ٢٠١٥-١٩٥٠، دراسة أثر أنماط الدورات الهوائية العامة Atmospheric Circulations على الجفاف في منطقة الدلتا المصرية، وتقييم علاقة بعض عناصر المناخ في الدلتا المصرية بأحداث الجفاف من معامل الارتباط الجزئي، وكذلك دراسة تطبيقية لأثر الجفاف على بعض المحاصيل الرئيسية في منطقة الدلتا المصرية على مستوى محافظاتها خلال الفترة ٢٠١٥-١٩٩٩.

وبذلك فقد **هدف** خلال الدراسة الحالية إلى:

- ١- تحديد اتجاهات تغير الجفاف على المستوى الزمني والمكاني في منطقة الدلتا المصرية وتقييمها باستخدام المؤشر المعياري للهطول والتباخر النتحي (SPEI).
- ٢- التعرف على تردد الأحداث الجافة وتكرارها ومقارنتها بالأحداث الرطبة في منطقة الدلتا المصرية.
- ٣- تقييم أثر أنماط الدورات الهوائية العامة على الجفاف واتجاهاته في منطقة الدلتا المصرية.
- ٤- تقييم دور بعض عناصر المناخ، وارتباطها بمؤشرات الجفاف في منطقة الدلتا المصرية.
- ٥- دراسة تطبيقية لأثر الجفاف على إنتاجية بعض المحاصيل الرئيسية ومساحاتها في الدلتا المصرية.

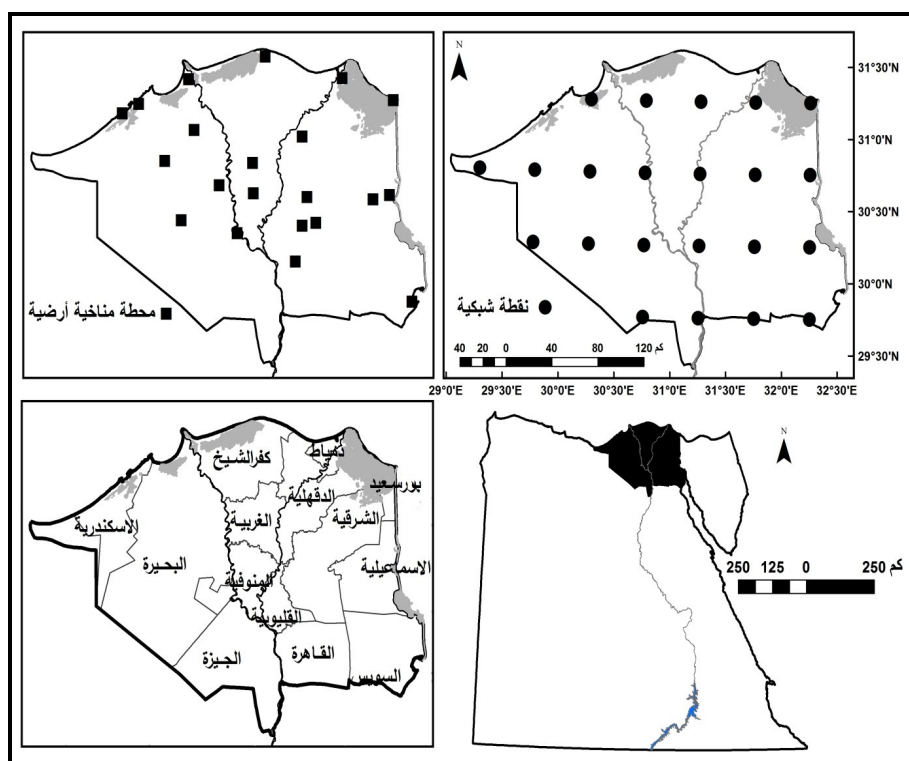
تحديد منطقة الدراسة :

تقع منطقة الدراسة أقصى شمال وادي النيل في مصر، بين دائري عرض ٢٣°٢٩ و ٣١°٣٥ شمالاً، وبين خط طول ٢٩°٣٢ شرقاً، و ٤٨٩٤٧ شرقاً. وتبلغ مساحة منطقة الدراسة كيلومتراً مربعاً، بنسبة ٥٪ تقريباً من إجمالي مساحة مصر (تتمثل في الدلتا المصرية الفيوضية وهوامشها الصحراوية ومعظم مساحات محافظات القناة)، وتمثل مساحة الدلتا الفيوضية ٢٢ ألف كيلومتر مربع بنسبة ٤٥٪ من إجمالي منطقة الدراسة، وبنسبة ٦٠٪ تقريباً من إجمالي المعمور

المصري. ويحدها من الجنوب الحد الإداري الجنوبي لمحافظة القاهرة وطريق القطامية العين السخنة والحد الإداري الجنوبي لمحافظة الجيزة، ومن الشمال البحر المتوسط، ويحدها من الغرب والجنوب الغربي الحد الإداري الغربي والجنوب الغربي لمحافظات الإسكندرية والبحيرة والجيزة، ومن الشرق والجنوب الشرقي قناة السويس وخليج السويس، كما يتضح من الشكل رقم (١). وتحدها منطقه الدراسة منطقة ساخنة وبؤرة تركز سكانى وعمرانى وزراعي ولكافه الأنشطة البشرية في مصر، مما يعطها أهمية كبيرة في الدراسات الجغرافية والبيئية والمناخية المصرية، خاصة في ظل التغيرات المناخية والاحترار العالمي والتغيرات السكانية وزيادة الطلب على المياه والعجز المائي المستمر والواضح في مصر خلال العقود الأخيرة. وتشتمل منطقة الدراسة على عدد (٦٦ بعد إضافة ٦ أكتوبر وحلوان) محافظة إدارية من إجمالي (٢٩) محافظة إدارية في مصر، وبعدد سكان بلغت نسبتهم في منطقة الدراسة ٦٩٪ من إجمالي عدد سكان مصر (يناير ٢٠١٨)، كما يبلغ عدد القرى بمنطقة الدراسة ٢٥٨٤ قرية بنسبة ٦٠٪ من إجمالي قرى مصر، وعدد المدن ١٢١ مدينة بنسبة ٥٤٪ من إجمالي مدن مصر، واستحوذت كذلك على ١٥ مدينة عمرانية جديدة بنسبة ٥٦٪ من إجمالي المدن العمرانية الجديدة في مصر.

كما بلغت مساحات الحيازات الزراعية في منطقة الدراسة (٦٣٥٠٤٩٧) فدانًا بنسبة ٦٥٪ من إجمالي مساحة الحيازات الزراعية في مصر عام ٢٠١٠، تمثل ٥٢٪ تقريبًا من إجمالي مساحة منطقة الدراسة، كما تبلغ مساحة الأرض المستفيدة بنظام الصرف المغطى في منطقة الدلتا ٤٣٣٩٢٠٠ فدان بنسبة ٧٢٪ من إجمالي مساحات الصرف المغطى بمصر (عام ٢٠١٧)، وبنسبة ٦٨٪ من إجمالي مساحة الحيازات الزراعية في مصر. وقد قدرت نسبة مياه الري المستخدمة لمحاصيل العروات الثلاث والفاكهه وفقاً لمقننات الحقل بمنطقة الدراسة ٦٠٪ من إجمالي الكمية المستخدمة في مصر (عام ٢٠١٦). كما تشمل منطقة الدراسة على عدة بحيرات طبيعية غير عذبة (المنزلة، والبرلس، ومريلوط، وادكو، والبحيرات المرأة، وبحيرة التمساح)، تقدر مساحتها بـ ١٧٤٣ كيلومترًا مربعًا، وتحدها مصدرًا مهمًا للثروة السمكية، بلغت (١٤٠ ألف طنًا) تقدر نسبتها بـ ٨٪ من إجمالي الإنتاج السمكي في مصر، وتتميز البحيرات الشمالية بوجود مناطق محميات طبيعية، كما أن لها أهمية بيئية كبيرة في الحفاظ على الدلتا المصرية وخصوصيتها، باعتبارها مصدات طبيعية ضد غزو مياه البحر المالحة داخل الدلتا الزراعية الطينية الخصبة (الكتاب الإحصائي السنوي، الجهاز المركزي للتعبئة العامة والإحصاء، ٢٠١٨، ٢٠١٦، ٢٠١٠)، كما يجرى في الدلتا فرعًا نهر النيل: فرع دمياط بطول ٢٤٢ كم ومتوسط عرض ٢٧٠ متر، وفرع رشيد بطول ٢٣٦ كم ومتوسط عرض ٥٠٠ متر، ويمتاز الفرعان بكثرة المنحدرات لقلة انحدار الأرض (متر لكل ١٤ كيلومترًا) وبطء التيار، وانخفاض جسورهما، وليونة الرواسب التي تتتألف منها (صفى الدين، ١٩٩٨؛ وفتحي، ٢٠٠٠).

مما يساعد أيضاً على زيادة فقدان المياه بالتبخر، خاصة في ظل ما تشهده الدلتا ومصر من ارتفاع درجات الحرارة والاحترار، وبالتالي تعرضها للجفاف وتأثيراته.



شكل (١) : منطقة الدراسة ونقطتها الشبكية المستخدمة ومحطاتها المناخية الأرضية ومحافظاتها الإدارية.
المصدر: من عمل الباحث اعتماداً على بيانات متغيرات الدراسة وباستخدام برنامج ArcGIS

بيانات الدراسة :

يُعد مؤشر المؤشر المعياري للهطول والتبخر النتحي Standard Precipitation Evapotranspiration Index (SPEI) أحد مؤشرات الجفاف التي وضعت مؤخراً، ومن أكثرها شيوعاً، خاصة بعد أن أكدت العديد من الدراسات قدرته على الوصف الجيد لتطور الجفاف، كأنه الأكثر ملائمة لدراسة الجفاف وتقييم شدته في مناخات مختلفة، وقد طور من قبل (Vicente-Serrano, et al., 2010a) ويتشابه ذلك المؤشر مع مؤشر المطر القياسي Standardised Precipitation Index (SPI) في الفرضية الأساسية للتكتوبين والشكل، بينما يمتاز عن مؤشر

المطر القياسي أو المعياري الذي يعتمد فقط في حسابه على المطر، ولا يوجد به مكون خاص بالرصيد المائي للتربة، وبالتالي لا يمكن حساب نسب التبخر النتحي / والتبخر النتحي الكامن (ET/PET)، بينما يعتمد حساب المؤشر المعياري للتساقط المطري والتباخر النتحي على متغيرات أخرى حرجة بالإضافة إلى المطر، ومنها: الحرارة، ودرجة عرض المكان لتحديد درجة التبخر نتح الكامن باستخدام معادلة ثورنثوايت (Thorntwaite, 1948)، والتي يمكن لاتك المتغيرات أو العناصر أن تأثر بشكل كبير على الجفاف وشدة، فهو مؤشر يعتمد على التوازن المائي المناخي، الذي يتم تحديده من خلال الاختلاف بين التساقط المطري والتباخر الكامن، ولذلك فالمؤشر القدرة على تتبع الجفاف الزراعي والهيدرولوجي بشكل أكثر كفاءة، إلى جانب أنواع الجفاف الأخرى وتأثيراتها في إطار ظاهرة الاحتباس الحراري (Vicente-Serrano, et al., 2010a; Wang, et al., 2014; Li, et al., 2015; Yihdego, et al., 2019).

ويصف المؤشر المعياري للهطول والتباخر النتحي العجز في المياه على نحو فعال على نطاقات زمنية متعددة، بداية من قصيرة الأجل ومتوسطة (٦، ١٢، ٢٤، ٤٨) شهور، حيث رطوبة التربة، وعلاقتها بإجهاد المحاصيل الزراعية، خاصة في أثناء موسم نموها، وبالتالي يعجز النبات عن الحفاظ على غطائه الخضري، وتضعف إنتاجيته، وتقل بالضرورة مساحاته، وحتى النطاقات طويلة الأجل، والتي ترتبط بتدفقات المجرى المائي ومستودعات التخزين ومستويات المياه الجوفية (٩، ١٢، ٢٤، ٤٨) شهراً. فالمؤشر يعكس العلاقة الفاصلة بين الموارد المائية المختلفة وسقوط الأمطار والتباخر نتح، ولذا فهو مناسب جدًا للمناطق الفاصلة وشبيه الفاصلة (Polong, et al., 2019)؛ المنظمة العالمية للأرصاد الجوية، ٢٠١٢. وتشير قيم المؤشر SPEI السالبة إلى معدلات جفاف، بينما تشير القيم الموجبة إلى معدلات رطبة؛ حيث يُعرف الجفاف عندما تكون قيمة SPEI أقل من أو تساوي -١ في فترة معينة، وينتهي الجفاف عندما تصبح القيمة موجبة، كما يتضح من الجدول الآتي رقم (١).

وقد تم الحصول على بيانات المؤشر المعياري للهطول والتباخر النتحي من خلال قاعدة البيانات المتوفرة للمؤشر على مستوى العالم من الموقع الإلكتروني الآتي: <https://spei.csic.es/database.html#p1>، في شكل ملفات، بصيغة netcdf، وقد تم تحميل الملفات لنقاط شبكة ذات دقة مكانية ٥,٥ درجة عرضية وطولية، وبلغ عدد النقاط الشبكية داخل منطقة الدلتا المصرية (٢٢) نقطة شبکية، تغطي منطقة الدراسة، وسلامل بياناتها شهرية وطويلة الأمد خلال الفترة ١٩٠١-٢٠١٥، ولمستويات قياس تراكمية للجفاف، تبدأ من شهر إلى ٤٨ شهراً.

وقد اعتمد في إنشاء ذلك المؤشر على قاعدة البيانات العالمية CRU TS 3.23، لأنها مجموعة البيانات الأكثر اكتمالاً وتحديثاً عن هطول الأمطار الشبكية والتباخر المحتمل على المستوى العالمي، ولها دقة مكانية قدرها ٥,٥ درجة، وتغطي الفترة الزمنية ١٩٠١-٢٠١٥.

جدول (١) : تصنيف درجات الجفاف والرطوبة للمؤشر المعياري للمطر والتباخر النتحي SPEI.

التصنيف	قيمة مؤشر SPEI	م
جفاف متطرف	أقل من ٢ -	١
جفاف شديد	-1.99 to -1.50	٢
جفاف معتدل	-1.49 to -1.00	٣
ظروف معتلة	-0.99 to 0.99	٤
رطوبة معتلة	1.00 to 1.49	٥
رطوبة شديدة	1.50 to 1.99	٦
رطوبة متطرفة	أكثر من ٢	٧

المصدر: (Li, et al., 2015; Polong, et al., 2019)

ولحساب المؤشر SPEI، من الضروري تحديد الطلب التبخيري في الغلاف الجوي (AED)، والذي يتتأثر بشدة بالعوامل الطبيعية، ويشتمل على مزيج من المركبات أو العناصر الإشعاعية والдинاميكية الهوائية، وتم دمج هذه المكونات بواسطة (Penman, 1948)، الذي طور معادلة لقياس الطلب التبخيري للغلاف الجوي باستخدام بيانات الأرصاد الجوية (سرعة الرياح والإشعاع الشمسي والرطوبة النسبية ودرجة حرارة الهواء) (Vicente-Serrano, et al., 2016a)، إلا إنه ولوجود مشكلة شائعة في توفير بيانات مستمرة وطويلة لأغلب تلك العناصر، خاصة الإشعاع الشمسي والرطوبة والرياح؛ لذلك السبب فقد تم بناء مؤشر SPEI اعتماداً على بيانات الأمطار والتباخر النتحي باستخدام معادلة ثورنثويت.

كذلك اعتمد على بيانات سلاسل شهرية لبعض عناصر المناخ، وهي (متوسط لدرجة الحرارة العظمى، ومتوسط درجة الحرارة الصغرى، والرطوبة النسبية، وكمية المطر) خلال الفترة ١٩٥٠-٢٠٠٦، وذلك لعدد ٢١ محطة مناخية، موزعة في منطقة الدلتا المصرية، كما يوضح الشكل رقم (١). أما بالنسبة لبيانات أنماط دوران الغلاف الجوي، فقد اعتمد على بيانات سلاسل شهرية لعدد (٦) أنماط، تُعد من أكثر الأنماط تأثيراً في مناخ مصر وتغيراته، وهي: (تنبذب شمال الأطلطي NAO، وتنبذب شرق الأطلسي EA، وتنبذب شرق الأطلطي غرب روسيا EAWR، وتنبذب غرب البحر المتوسط WEMOI، وتنبذب البحر المتوسط MOI_CAIRO) بين القاهرة والجزائر، ومؤشر التذبذب الجنوبي SOI والمعبر عن ظاهرة النينو، وقد تم

الحصول على بيانات تلك الأنماط والمؤشرات من الموقع الإلكتروني المذكورة ضمن المراجع أدناه (للاستزادة يمكن الرجوع إلى: إبراهيم، ٢٠١٤، ٢٠١٢، ٢٠١٨). كذلك خلال الجزء التطبيقي لبحث آثر الجفاف على الزراعة وتقديره؛ فقد اعتمد على بيانات إنتاجية محصولي القمح والبرسيم المستديم ومساحتها في منطقة الدراسة، وعلى مستوى محافظاتها خلال الفترة ١٩٩٩-٢٠١٥، والتي تم الحصول عليها من وزارة الزراعة واستصلاح الأراضي، قطاع الشؤون الاقتصادية، سنوات مختلفة.

مناهج الدراسة وأدواتها :

اعتمد خلال الدراسة على المنهج الوصفي التحليلي في دراسة خصائص أحداث الجفاف، ومقارنتها بالأحداث الرطبة في منطقة الدلتا، وتحليل العوامل المؤثرة فيه، وتشمل أهم أنماط الدورات الهوائية في الغلاف الجوي، وبعض عناصر المناخ المحلية في منطقة الدراسة، ومقارنة النتائج بنتائج دراسات أخرى محلية وإقليمية؛ للوصول لتصنيف واضح للظاهرة، ومقوماتها، وأثارها، كذلك اعتمدت الدراسة على المنهج التاريخي في تتبع التطور الزمني للجفاف، مقارنة بأحداث الرطوبة، ومعرفة اتجاهات تغيره خلال فترة زمنية ماضية طويلة الأمد، كما اعتمد على منهج دراسة الحالة في دراسة تأثير الجفاف على بعض المحاصيل الرئيسية في الدلتا المصرية. أما بالنسبة للأدوات فقد اعتمد على الانحراف المعياري ومعامل الاختلاف لقياس مدى التشتت المكاني لمعدلات تكرار أحداث الجفاف والرطوبة في الدلتا خلال الفترة ١٩٥٠-٢٠١٥.

.٢٠١٧

كذلك استُخدم الاختبار اللامعجمي سبيرمان Spearman's Rho tests لتحديد الدلالة المعنوية للاتجاه لمؤشر الجفاف خلال الفترة ١٩٥٠-٢٠١٥ في منطقة الدلتا المصرية، وذلك عند مستوى دلالة معنوية (٠,٠٥)، وقد أوصت المنظمة العالمية للأرصاد الجوية بذلك الاختبار للتحقيق في دلالة الاتجاه الزمني لعناصر المناخ وعوامل الأرصاد الجوية المائية بما فيها المطر والجريان السطحي والتباخر ومؤشرات الجفاف، كما تم تحديد قيمة الاتجاه من خلال أسلوب The Sen's Slope Estimator Method (Sneyers, 1990; Rahmat, et al.,) باستخدام برنامج EXCEL باستخدام برمجيات Slope Estimator Method (Sneyers, 1990; Rahmat, et al., 2012; Paulo, et al., 2012; Yao, et al., 2018; ٢٠٠٠؛ أبوراضي، ٢٠١٢؛ Paulo, et al., 2012؛ Yao, et al., 2018). واعتمد أيضًا على اختبار بيرسون Person Correlation في دراسة العلاقة الارتباطية بين سلاسل بيانات الجفاف، وبعض عناصر المناخ الأخرى وتحليلها، وهي: كالحرارة العظمى، والصغرى، والرطوبة النسبية، والمطر، وكذلك مؤشرات دوران الغلاف الجوي كالناؤ، والنبوغ وغيرها، وذلك من أجل استكشاف

وجود تذبذبات ذات دلالة إحصائية بينها وبين مؤشر الجفاف SPEI، وكذلك للكشف عن العلاقة بين مؤشر الجفاف وإنتاجية بعض المحاصيل الرئيسية في الدلتا ومساحتها. وقد اعتمد على أداة الاستكمال المكاني Inverse Distance Weighting (IDW) في برنامج ArcGIS 10.5 لتمثيل البيانات خرائطياً، كما استُخدم برنامج EXCEL في حساب التكرارات ورسم الأشكال البيانية.

كما اعتمد على اختبار الارتباط الجزئي The Partial Correlation Coefficient، وهو اختبار إحصائي يقيس درجة العلاقة بين متغيرين، مع تثبيت أو عزل أثر متغيرات أخرى ترتبط بهما، وذلك من خلال التحكم في عزل العوامل المختلفة الأخرى، واحداً بعد الآخر (صفوح، ٢٠٠٠)، وذلك في أثناء تقييم العلاقة بين مؤشر الجفاف، وبين بعض عناصر المناخ المتوفّر ببياناتها لفترات زمنية طويلة الأمد، وذلك لعدد من المحطات المناخية الأرضية في منطقة الدلتا، وهي: درجة الحرارة العظمى، والصغرى، والرطوبة، والمطر؛ بهدف تحديد أكثر تلك العناصر تأثيراً في الجفاف، وعلى مستويات نطاقات زمنية متعددة قصيرة ومتوسطة وطويلة الأمد في الدلتا المصرية، ولتحديد نطاقات التأثير بكل عنصر مناخى عن غيره، ويمتاز ذلك الاختبار بقدرته على تحديد تأثير كل عامل أو عنصر على ظروف الجفاف، مع الأخذ في الاعتبار تأثير بقية العناصر الأخرى بعد عزلها أو تثبيت تأثيرها، فكل تلك العناصر تتدخل مع بعضها البعض بيئياً في التأثير على الجفاف، ومن غير المفيد فصل إداتها عن الأخرى عند دراسة تأثيرهم على الجفاف وعلاقتها ارتباطاً بهم، لذا فقد تم استخدام أسلوب الارتباط الجزئي للتعرف على دور كل عنصر في ضوء علاقته ببقية العناصر المتداخلة الأخرى معه في البيئة، ومقارنة تلك النتائج بنتائج علاقة الارتباط البسيط بين مؤشر الجفاف وكل متغير منفصلاً، وتوضيح التوزيع المكاني لتلك الفروق بين علاقة الارتباط الجزئي والبسيط، وقد اعتمدت كثير من الدراسات في مجال دراسة المناخ والتغيرات المناخية والجفاف على الارتباط الجزئي. ومنها: دراسة (Liu, et al., 2011; Sayari, et al., 2013; Liang, et al., 2014; Ficklin, et al., 2015).

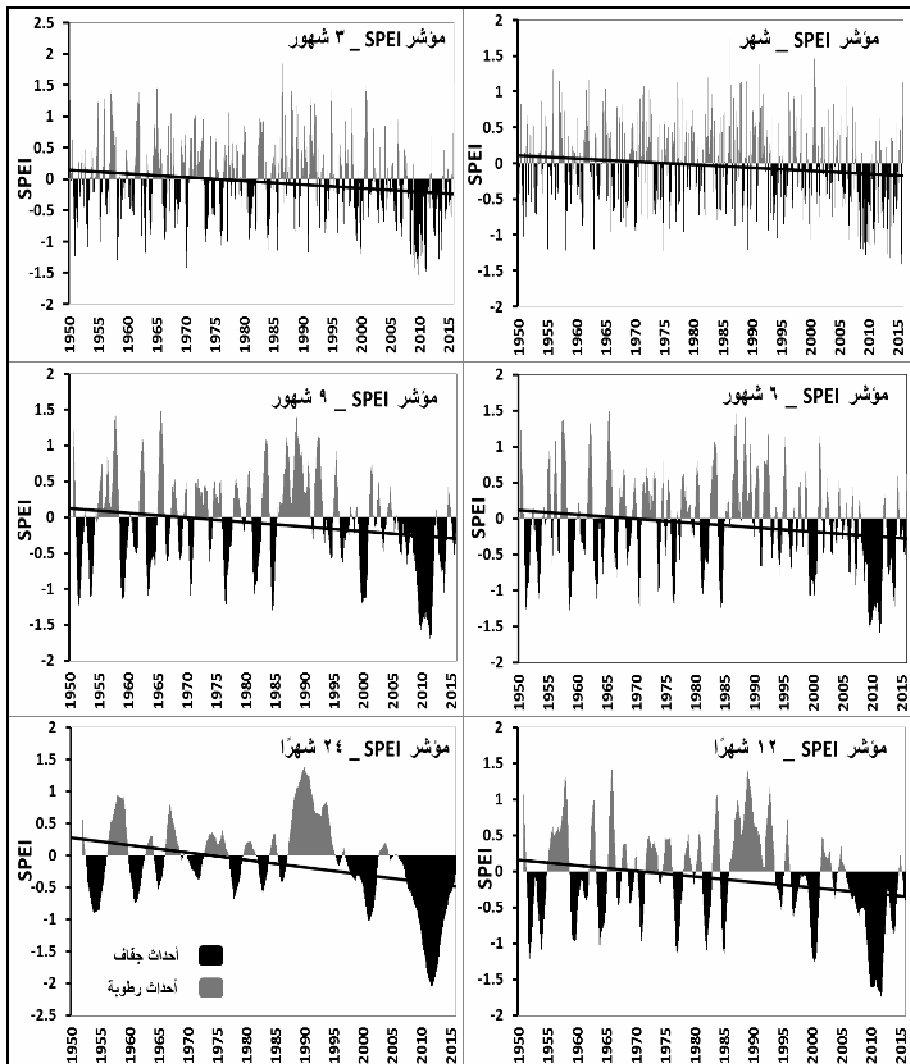
النتائج والمناقشات :

(١) بالنسبة لاتجاهات الجفاف في منطقة الدلتا المصرية خلال الفترة ١٩٥٠-٢٠١٥:

يبين الجدول الآتي رقم (٢) والأشكال أرقام (٢)، (٣) اتجاهات الجفاف في مؤشر المطر المعياري والتباخر النتحي SPEI ل الكامل السلسلة الشهرية على مستويات زمنية مختلفة قصيرة ومتوسطة وطويلة الأجل.

جول (٢) : اتجاهات الجاف المؤشر SPEI للطاقات الزمئية المختلفة، ومستويات فصلية في منطقة الدلتا المصرية خلال الفترة ١٩٥٠-٢٠١٥. (القيمة Z المعيارية لكل سنة)

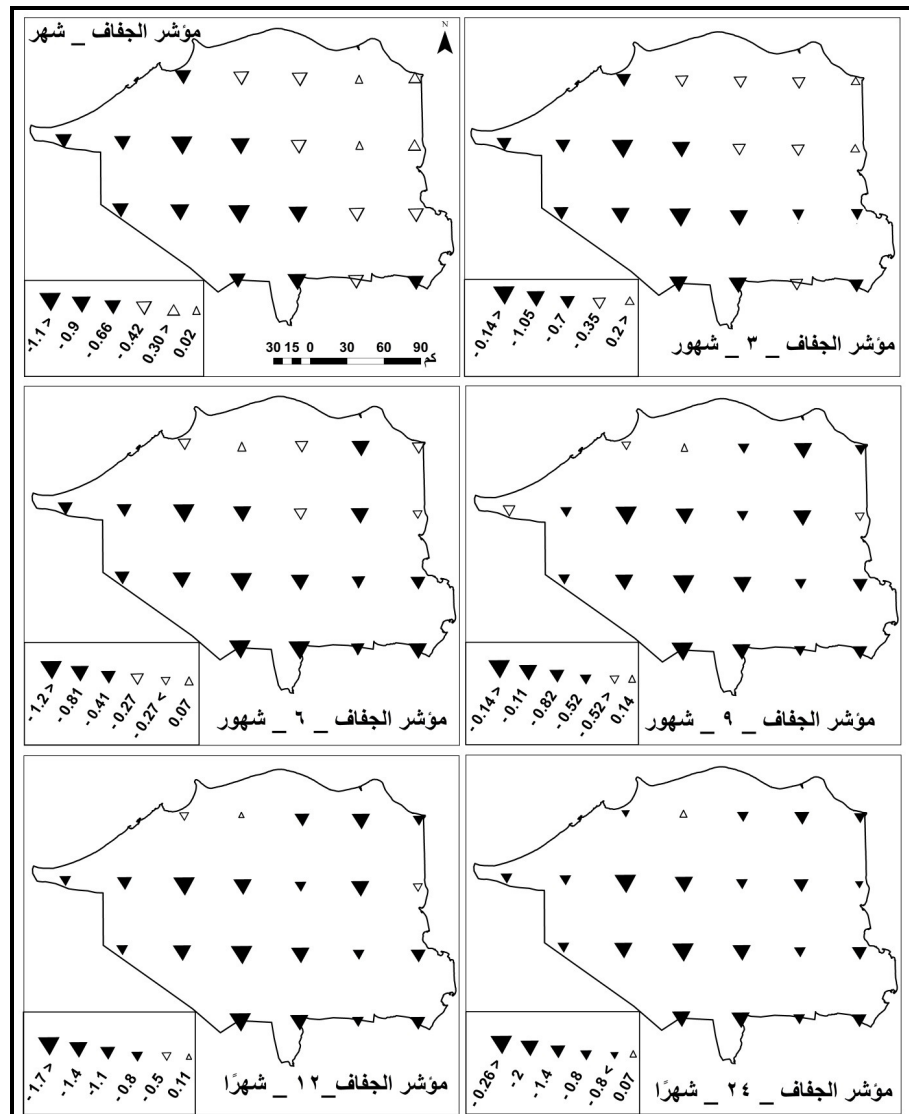
المصدر: من عمل الباحث اعتماداً على بيانات مؤشر الجفاف SPEI.



شكل (٢) : المتوسط المتحرك لاتجاهات مؤشر الجفاف الشهري للمناطق الزمنية المختلفة

بالنسبة لمتوسط الدلتا المصرية خلال الفترة ١٩٥٠-٢٠١٥.

المصدر: من عمل الباحث اعتماداً على بيانات مؤشر الجفاف SPEI



شكل (٣) : التوزيع المكاني لاتجاهات مؤشر الجفاف الشهري خلال النطاقات الزمنية المختلفة

. ولمستويات فصلية في منطقة الدلتا خلال الفترة ١٩٥٠-٢٠١٥.

المصدر: من عمل الباحث اعتماداً على بيانات مؤشر الجفاف SPEI



تابع شكل (٣)

يتضح من الجدول والأشكال السابقة ما يلي :

- وجود اتجاه عام نحو زيادة الجفاف بالنسبة لمتوسط منطقة الدلتا المصرية لكل النطاقات الزمنية خلال الفترة ١٩٥٠-٢٠١٥، وبدالة معنوية مرتفعة عند مستوى (٠,٠١) لكل النطاقات الزمنية قصيرة ومتوسطة وطويلة الأجل؛ حيث بلغ معدل الاتجاه للنطاق الزمني شهر (٠,٥٢-٠,٥٢) لكل عقد سنوي، ولنطاقى ٣، ٦ شهور (٠,٧٠-٠,٧٠) لكل عقد سنوي، كذلك زاد المعدل للنطاقات المتوسطة والطويلة الأمد، فبلغ للمستوى الزمني ٩ شهور (-٠,٨٠) لكل عقد سنوي، كما بلغ (-١) لنطاقى ١٢، ٢٤ شهراً. أيضاً فقد اتضح من الشكل رقم (٣) التطور الزمني لأحداث الجفاف والرطوبة لمتوسط منطقة الدلتا المصرية، وتبيّن وجود حالات جفاف واضحة بشكل متكرر خلال كل النطاقات الزمنية التراكمية، خاصة خلال فترة ١٩٥٠-١٩٥٥، وفترة ١٩٦٥-١٩٧٥، وفترة ١٩٨٥-١٩٧٥، وفترة ١٩٩٤-٢٠٠٠، والفترة اللاحقة لعام ٢٠٠٥، ويمكن اعتبارها المسئولة بشكل كبير عن زيادة

الاتجاه العام نحو الجفاف في منطقة الدراسة؛ حيث تفاقمت حالات الجفاف حتى نهاية فترة الدراسة عام ٢٠١٥، وكانت أشد حالات الجفاف وضوحاً عام ٢٠١٠، وهو ما أكدت عليه كثير من الدراسات التي استخدمت مؤشر SPEI في مناطق مختلفة في العالم كالصين، وكوريا، والسودان، والأرجنتين، وشبه جزيرة أيبيريا، وكينيا، وحوض البحر المتوسط، خاصة بلاد الشام، والتي واجهها موجات جفاف شديدة ومتصلة خلال الفترة ١٩٩٨-٢٠١٢، ومن تلك الدراسات ما يلي: (Zhang, et al., 2012; Yang, et al., 2012; Lee, et al., 2012; Li, et al., 2015; Cook, et al., 2016; Yagoub, et al., 2017; Páscoa, et al., 2017; Bae, et al., 2018; Bohn and Piccolo, 2018; Polong, et al., 2019)، كما أنه على المستوى العالمي زادت شدة الجفاف من ١٩٥١-١٩٨٠ إلى ٢٠١٠-١٩٨١ على أكثر من نصف مساحة اليابس (باستثناء أنتاركتيكا والمناطق الباردة والصحراوية شديدة الجفاف) (Vogt, et al., 2018).

بالنسبة للمناطق الزمنية قصيرة الأجل: (شهر)، والذي يمكن أن يرتبط تطبيقه وتأثيره بأنواع الجفاف الخاصة بالظروف الجوية، ورطوبة التربة قصيرة الأجل، وإجهاد المحاصيل الزراعية خاصة في أثناء موسم النمو، ونسبة الغطاء النباتي، فقد لوحظ أن هناك اتجاهها عاماً نحو زيادة أحداث الجفاف في أغلب النقاط الشبكية بمنطقة الدراسة، وبدلالة معنوية في أكثر من ٥٠٪ من إجمالي عدد النقاط الشبكية في منطقة الدلتا، تركزت في غرب وجنوب وجنوب غرب منطقة الدلتا المصرية، بينما ظهر اتجاه دون دلالة معنوية نحو نقصان أحداث الجفاف وزيادة الأحداث الرطبة في شمال شرق منطقة الدلتا، حيث بحيرة المنزلة الساحلية والأراضي الرطبة. أما النطاق الزمني قصير الأجل (٣ شهور)، والذي يمكن أن يرتبط تطبيقه أيضاً بأنواع الجفاف الخاصة برطوبة التربة وقدرتها على الاحتفاظ بها، ومناطق الزراعة الأساسية، فللحظ أن هناك اتجاهها عاماً أيضاً نحو زيادة أحداث الجفاف في أغلب النقاط الشبكية بمنطقة الدراسة، واتضحت الدلالة المعنوية لحوالي ٦٠٪ من إجمالي عدد النقاط الشبكية في منطقة الدلتا، وتركزت أيضاً في جنوب وجنوب غرب منطقة الدلتا المصرية.

أما بالنسبة للمناطق الزمنية متوسطة الأجل (٦ شهور، ٩ شهور)، والتي يتضح تأثيرها على الإنتاجية الزراعية للمحاصيل، فقد لوحظ أن هناك اتجاهها عاماً واضحاً نحو زيادة أحداث الجفاف في كل النقاط الشبكية بمنطقة الدراسة، مع زيادة واضحة في الدلالة المعنوية لتشمل ٨٠٪ من إجمالي عدد النقاط الشبكية في منطقة الدلتا، بينما اختفت الدلالة الإحصائية في أقصى شمال غرب منطقة الدلتا.

- بالنسبة للنطاقات الزمنية الهيدرولوجية طويلة الأجل (١٢ شهراً، ٢٤ شهراً) والتي ترتبط بتدفقات المجرى المائي، أو مستويات المياه في الترع والقنوات، ومستويات المياه الجوفية؛ لوحظ أيضاً اتجاه عام نحو زيادة أحداث الجفاف في كافة منطقة الدراسة، وبدلالة معنوية واضحة فيأغلب النقاط الشبكية بمنطقة الدراسة، وبزيادة واضحة نحو الجفاف في غرب وجنوب غرب منطقة الدراسة، وفي كافة النطاقات الزمنية قيد الدراسة.
- أيضاً بالنسبة لدراسة اتجاهات مؤشر الجفاف على المستوى الفصلي، فقد أختير شهر فبراير معيناً عن الجفاف قصير الأجل للنطاق الزمني السابق له (٣ شهور)، والذي يعكس مدى تراكم الجفاف أو الرطوبة خلال فترة محددة تمثل شهور (ديسمبر، يناير، فبراير) وهي شهور فصل الشتاء فصل المطر الرئيسي بمنطقة الدراسة، وكذلك شهر نوفمبر معيناً عن الجفاف قصير الأجل للنطاق الزمني السابق له (٣ شهور)، والذي يعكس مدى تراكم الجفاف خلال فترة محددة، تمثل شهور (سبتمبر، أكتوبر، نوفمبر) وهي شهور فصل الخريف الأقل مطراً بمنطقة الدراسة، كما أختير شهر مارس معيناً عن الجفاف متوسط الأجل للنطاق الزمني السابق له (٦ شهور)، والذي يعكس مدى تراكم الجفاف أو الرطوبة خلال فترة محددة تمثل شهور (أكتوبر، نوفمبر، ديسمبر، يناير، فبراير، مارس)، تمثل نصف السنة الممطر بمنطقة الدراسة. وقد لوحظ أيضاً وجود اتجاه عام نحو زيادة أحداث الجفاف في منطقة الدراسة لكافة النطاقات الزمنية الشهرية سابقة الذكر، وبدلالة معنوية أقل، تركزت في جنوب منطقة الدلتا وغربها، وبذلك يتضح زيادة الجفاف في شهور المطر الرئيسية في منطقة الدراسة، خاصة مع الاحتياط الذي تشهده منطقة الدراسة خلال العقود الأخيرة، وما لذلك من آثار على رطوبة التربة، ومستويات المياه السطحية والجوفية، والزراعة والنبات الطبيعي.

(٢) بالنسبة لمعدلات تكرار ونسب أحداث الجفاف واتجاهاتها، ومقارنتها بالأحداث

الرطبة في منطقة الدلتا المصرية، وفقاً لتصنيفات مؤشر SPEI :

يبين الجدول الآتي رقم (٣) والأشكال أرقام (١٣-٤) معدلات تكرار أهم أحداث الجفاف وتشتتها المكاني واتجاهات تغيرها طبقاً لتصنيفات المؤشر، ومقارنتها بأحداث الرطوبة في منطقة الدلتا المصرية، خلال الفترة ١٩٥٠-٢٠١٥. حيث يتضح من الجدول أن هناك تشتتاً مكانياً واضحاً لقيم تكرارات أحداث الجفاف المتطرف لأغلب المستويات الزمنية مقارنة بأحداث الجفاف الأخرى، والأحداث الرطبة، كما ظهر ذلك التشتت بوضوح خلال النطاقات الزمنية التراكمية طويلة الأجل مقارنة بباقي النطاقات الزمنية متوسطة وقصيرة الأجل.

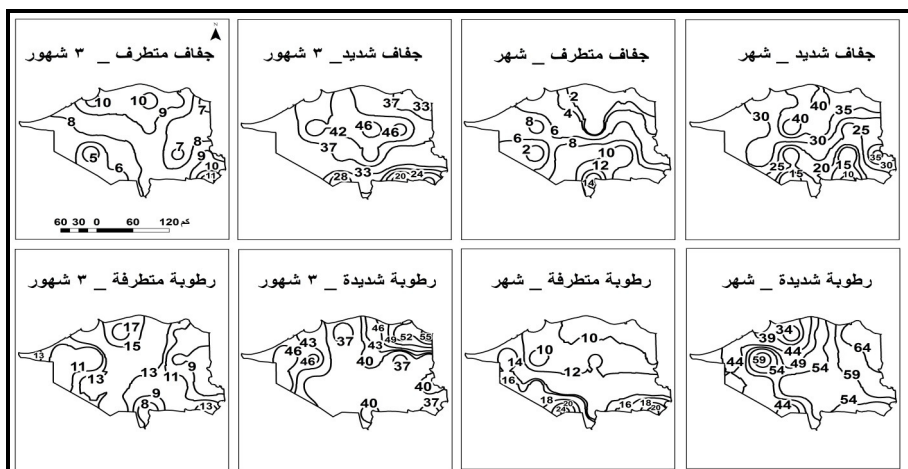
جول (٣) : معدلات تكرار أحداث الجفاف وقيمة شتتها المكانية واتجاهاتها وعقاربها بالأحداث الرطبة النطاقات الزمنية المختلفة خلال الفترة ١٩٥٠-٢٠١٠ للدلتا المصرية (قيمة تكرارية مطلقة).

جذاف متطرف											
النطاق الزمني											
جذاف شديد						أجتالى التكرارات					
أجتالى التكرارات						الأنحراف المعياري (%)					
24	12	9	6	3	1	24	12	9	6	3	1
1080	1110	1079	967	812	615	394	330	241	165	168	146
14.6	15.7	8.8	7.7	7.8	9.7	10.4	9.2	6.9	4.2	2.3	3.7
29.7	31.1	17.9	17.6	21.2	34.9	58.3	61.0	62.8	55.8	30.4	55.7
***3.5	0.7	1	11.6	**1.4	**1.3	**4	**2	**1.1	11.8	**0.8	**0.6
جذاف متطرف											
النطاق الزمني											
جذاف شديد						أجتالى التكرارات					
أجتالى التكرارات						الأنحراف المعياري (%)					
24	12	9	6	3	1	24	12	9	6	3	1
826	828	922	964	977	1166	247	317	294	308	295	335
15.3	14.5	13.0	10.1	5.4	8.8	12.1	8.7	6.6	5.0	1.9	4.0
40.7	38.5	31.1	23.2	12.2	16.7	107.4	60.3	49.6	36.0	14.5	26.2
****2.1	**2.6	**-2.4	-2.4	-15.5	*-1.4	-0.8	*-0.5	**-1	-10	-0.4	-0.3
جذاف معتدل											
النطاق الزمني											
جذاف معتدل						أجتالى التكرارات					
أجتالى التكرارات						الأنحراف المعياري (%)					
24	12	9	6	3	1	24	12	9	6	3	1
1656	1587	1603	1673	1825	1604	2165	2200	2359	2373	2310	2345
24.7	21.0	15.1	9.6	14.9	17.1	22.7	24.6	19.0	15.9	10.2	12.8
32.9	29.2	20.8	12.6	17.9	23.5	23.1	24.6	17.7	14.3	9.7	12.0
****3.6	**-3	**-2	-10.3	-1	*-1.3	**3.5	*2	*2	1.1	**3.1	**3
ظروف معتدلة											
النطاق الزمني											
ظروف معتدلة						أجتالى التكرارات					
أجتالى التكرارات						الأنحراف المعياري (%)					
24	12	9	6	3	1	24	12	9	6	3	1
11055	11052	10926	10974	10992	11142	(*)	(*)	(*)	(*)	(*)	(*)
41.2	35.0	31.6	24.3	17.8	26.1	(*)	(*)	(*)	(*)	(*)	(*)
8.2	7.0	6.4	4.9	3.6	5.2	(*)	(*)	(*)	(*)	(*)	(*)
**-4.4	*3	2	-0.6	-3	-2.4	(*)	(*)	(*)	(*)	(*)	(*)

المصدر: من عمل الباحث اعتماداً على بيانات المؤشر SPEI.

أ- بالنسبة للنطاقات الزمنية قصير الأجل لمؤشر الجفاف (شهر، ٣ أشهر):

- بلغت نسب تكرار أحداث الجفاف المتطرف الشديد والمتوسط على التوالي من إجمالي تكرار أحداث الجفاف والرطوبة والاعتدال بمنطقة الدلتا المصرية خلال الفترة ١٩٥٠-٢٠١٥، وبلغت نسب تكرار أحداث الجفاف المتطرف والشديد والمتوسط تقريباً على التوالي من إجمالي تكرار أحداث الجفاف فقط بمنطقة الدلتا المصرية. بينما بلغت نسب تكرار أحداث الرطوبة المتطرف والشديدة والمعتدلة تقريباً على التوالي من إجمالي تكرار كل أحداث الجفاف والرطوبة والاعتدال بمنطقة الدلتا المصرية، وبلغت نسب تكرار أحداث الرطوبة المعتدلة والشديدة والمتوسطة تقريباً على التوالي من إجمالي تكرار أحداث الرطوبة فقط بمنطقة الدلتا المصرية.



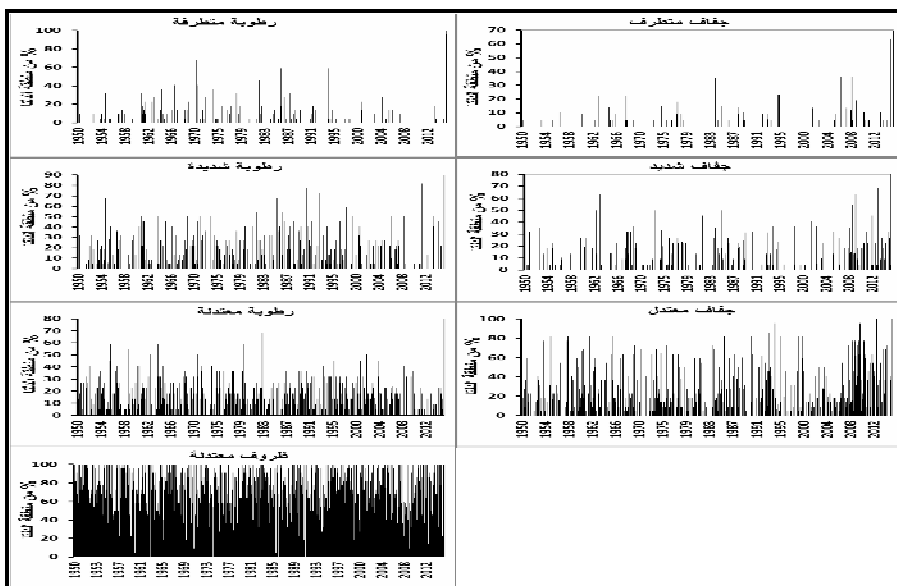
شكل (٤) : الأنماط المكانية لمعدلات تكرار أهم أحداث الجفاف والرطوبة للنطاقات الزمنية

المختلفة قصيرة الأجل خلال الفترة ١٩٥٠-٢٠١٥ في منطقة الدلتا المصرية.

المصدر: من عمل الباحث اعتماداً على بيانات مؤشر SPEI

- لوحظ تركز تكرار الأحداث المترفة الجافة في جنوب الدلتا لمستوى (شهر) في حين يُعد شمال وجنوب شرق الدلتا أكثر المناطق تأثراً بالأحداث المترفة المائية لمستوى (٣ أشهر)، بينما لوحظ واضح لمعدل تكرار أحداث الجفاف الشديدة في وسط وشمال وشمال شرق منطقة الدلتا للمستويين (شهر، ٣ أشهر). أما بالنسبة لأحداث الرطوبة المترفة على مستوى (شهر) فقد تبين تكرار أحداثها في مناطق قليلة جنوب الدلتا،

بينما زيادة واضحة لمعدلات تكرارها في وسط وشمال الدلتا، بينما لوحظ تركز واضح لأحداث الرطوبة الشديدة في وسط وشرق وشمال شرق منطقة الدلتا المصرية، ونطاق مكاني محدود غرب الدلتا. وعلى مستوى (٣ أشهر) ظهرت زيادة واضحة لمعدلات تكرار أحداث الرطوبة الشديدة في أغلب الدلتا، بينما معدلات أقل لأحداث الرطوبة المتطرفة ويتركز واضح في شمال الدلتا المصرية، وتتوافق تلك النتيجة مع نتيجة دراسة (إبراهيم، ٢٠١٢)، رغم اختلاف مؤشر الدراسة بينهما.

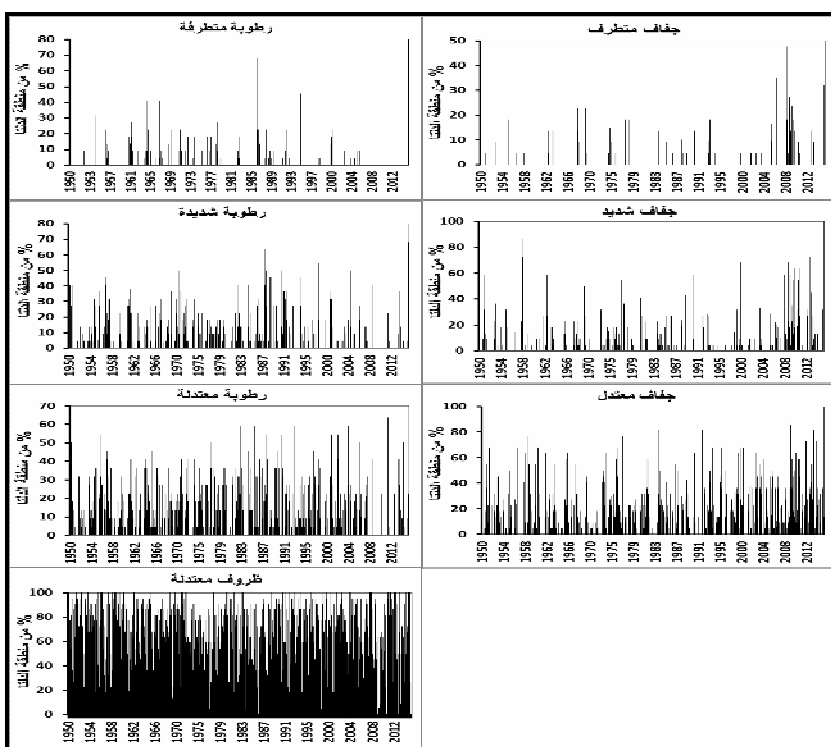


شكل (٥) : التطور الزمني لنسب مساحة السطح بأحداث الجفاف، ومقارنتها بالأحداث الرطبة في منطقة الدلتا المصرية للنطاق الزمني القصير (شهر) خلال الفترة ١٩٥٠ - ٢٠١٥ .

المصدر: من عمل الباحث اعتماداً على بيانات مؤشر SPEI

أما على مستوى التطور الزمني لنسب تأثير أراضي منطقة الدراسة بمعدلات تكرار الأحداث الجافة والرطبة والظروف المعتدلة، فقد اتضح أن أحداث الجفاف المتطرفة أثرت على مساحات تمثل نصف مساحة منطقة الدراسة تقريباً خاصة منذ الثمانينيات، وخلال أوائل القرن الواحد والعشرين، ففي أعوام ٢٠١٥ و ٢٠٠٨ و ٢٠٠٦ و ١٩٩٥ و ١٩٧٧ و ١٩٦٨ و ١٩٦٣ تأثرت حوالي %٦٤ و %٤٠ و %٣٦ و %٢٤ و %٢٠ و %٢٣ و %٢٢ و من مساحة منطقة الدلتا على التوالي بأحداث الجفاف المتطرف، أما أحداث الجفاف الشديد فقد اتسعت مساحة الأرضي المتأثرة بها في منطقة الدلتا، خاصة خلال العقود الأخيرة؛ حيث

بلغت في أعوام ٢٠١٣ و ٢٠٠٩ و ٢٠٠١ و ١٩٨١ و ١٩٦٣ و ١٩٥٨ حوالي ٧٠٪، و ٦٤٪ و ٤٥٪ و ٦٣٪ و ٨٤٪ على التوالي. أما بالنسبة لأحداث الرطوبة المتطرفة فقد أثرت على مساحات كبيرة من منطقة الدراسة خاصة خلال عقود السنتين والسبعينات والثمانينات القرن الماضي، أكبرها عام ٢٠١٥، ففي أعوام ٢٠١٥ و ١٩٨٦ و ١٩٨٢ و ١٩٧١ و ١٩٦٧ تأثرت حوالي ٩٥٪ و ٦٨٪ و ٤٥٪ و ٦٨٪ و ٤١٪ على التوالي من منطقة الدلتا المصرية بأكبر معدل تكرار لأحداث الرطوبة المتطرفة. أما بالنسبة لأحداث الرطوبة الشديدة فقد لوحظ تأثيرها أيضاً على مساحات واسعة من منطقة الدلتا خلال فترة الدراسة، ففي أعوام ٢٠١١ و ١٩٩٣ و ١٩٨٥ و ١٩٦١ و ١٩٥٤ تأثرت مساحات واسعة من منطقة الدراسة تبلغ نسبتها من منطقة الدراسة حوالي ٨٢٪ و ٧٢٪ و ٦٨٪ و ٤٥٪ و ٦٨٪ و ٤٠٪ على التوالي.

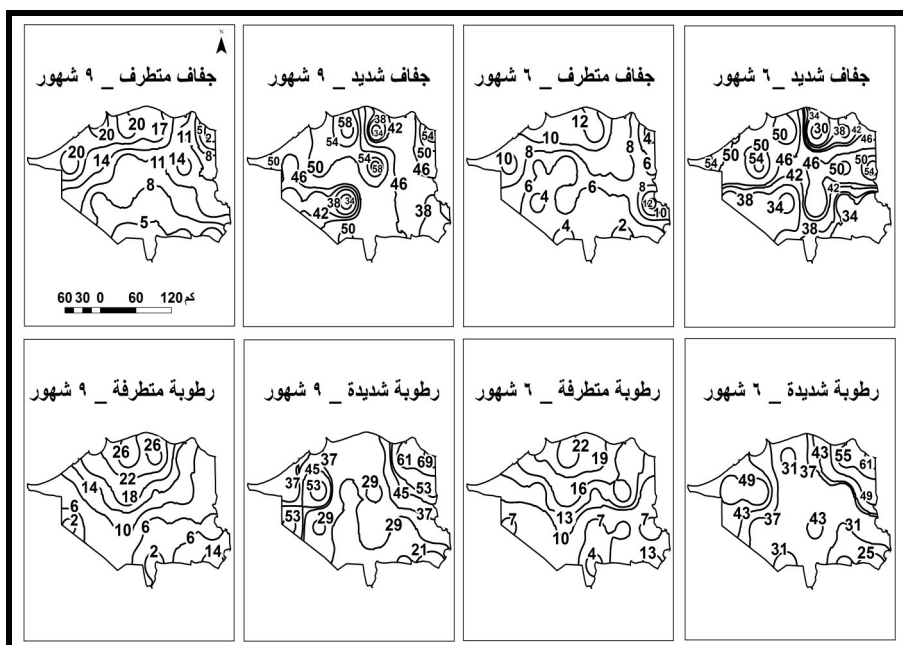


شكل (٦) : التطور الزمني لنسب تأثير مساحة السطح بأحداث الجفاف ومقارنتها بالأحداث
المرتبطة في منطقة الدلتا المصرية للنطاق الزمني (٣ شهور) خلال الفترة ١٩٥٠-٢٠١٥.

المصدر: من عمل الباحث اعتماداً على بيانات مؤشر SPEI.

بـ- بالنسبة للنطاقات الزمنية متوسطة الأجل لمؤشر الجفاف (٦، ٩ شهور):

- قدرت نسب تكرار أحداث الجفاف المتطرف والشديد والمعتدل بـ%١٤ و%٦ و%١٤ تقريباً على التوالي من إجمالي تكرار أحداث الجفاف والرطوبة والاعتدال في الدلتا خلال الفترة ٢٠١٥-١٩٥٠، وبلغت نسب تكرار أحداث الجفاف المتطرف والشديد والمعتدل %٦ و%٢٩ و%٦٨ تقريباً على التوالي بالنسبة لإجمالي تكرار أحداث الجفاف فقط في الدلتا. بينما كانت نسب تكرار أحداث الرطوبة المتطرف والشديدة والمعتدلة %٢ و%٦ و%١٠ تقريباً على التوالي من إجمالي تكرار كل أحداث الجفاف والرطوبة والاعتدال بمنطقة الدلتا المصرية، وبلغت نسب تكرار أحداث الرطوبة المتطرفة والشديدة والمعتدلة %١٠ و%٣٣ و%٥٧ على التوالي من إجمالي تكرار أحداث الرطوبة فقط بمنطقة الدلتا المصرية.

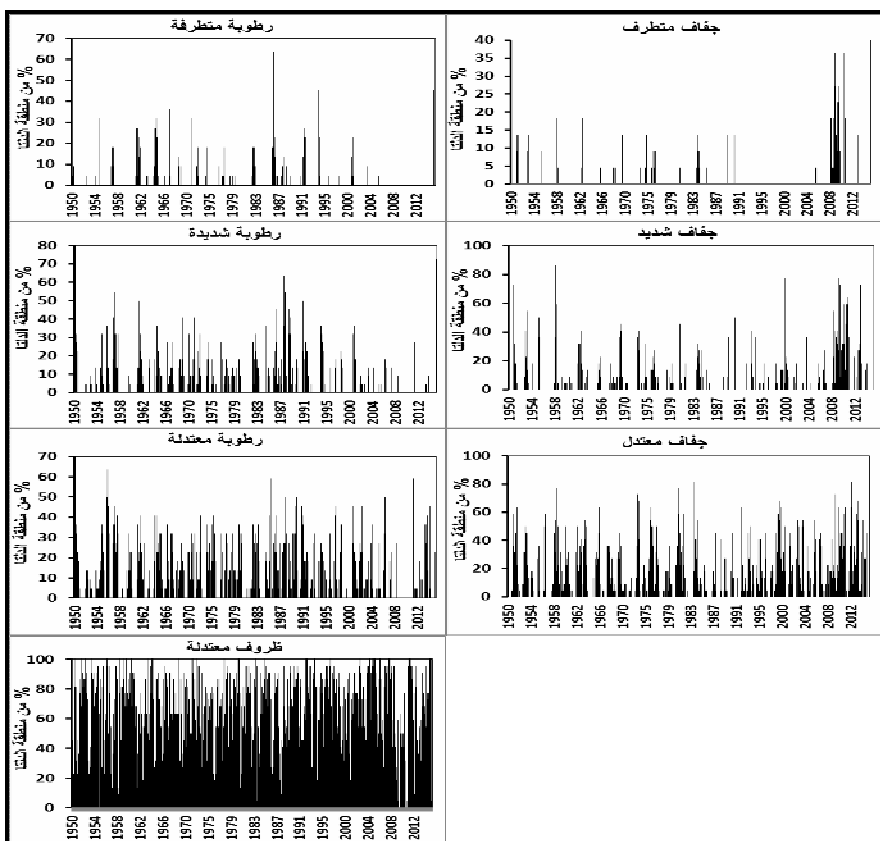


شكل (٧) : الأنماط المكانية لمعدلات تكرار أهم أحداث الجفاف والرطوبة للنطاقات الزمنية المختلفة متوسطة الأجل خلال الفترة ٢٠١٥-١٩٥٠ في منطقة الدلتا المصرية.

المصدر: من عمل الباحث اعتماداً على بيانات مؤشر SPEI.

- لوحظ أن شمال وشمال غرب منطقة الدلتا وبعض أجزاء من شرقها أكثر المناطق تأثراً بتكرار الأحداث المتطرفة الجافة والشديدة، أما بالنسبة لأحداث الرطوبة المتطرفة والشديدة فقد تكررت بمعدل أكبر في شمال وشمال شرق الدلتا المصرية في مقابل معدل

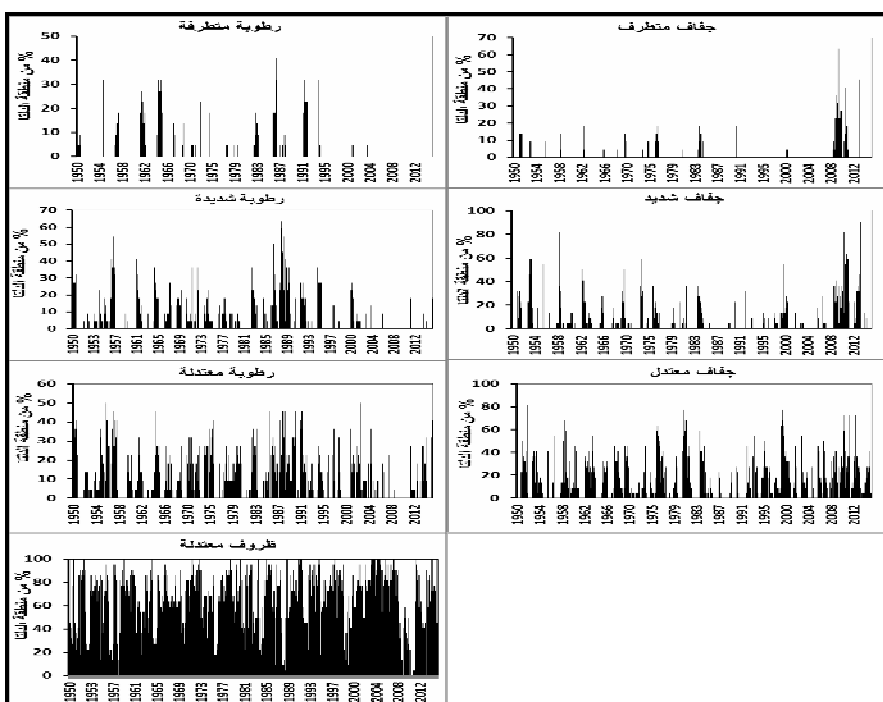
أقل في جنوب وجنوب شرق وجنوب غرب، حيث منطقة صحراء شرق الدلتا والهوماش الصحراوية شرق الدلتا وغربيها.



شكل (٨) : التطور الزمني لنسب تأثر مساحة السطح بأحداث الجفاف وبمقارنتها بالأحداث الرطبة في منطقة الدلتا المصرية للنطاق الزمني (٦ شهور) خلال الفترة ١٩٥٠-٢٠١٥ .
المصدر: من عمل الباحث اعتماداً على بيانات مؤشر SPEI.

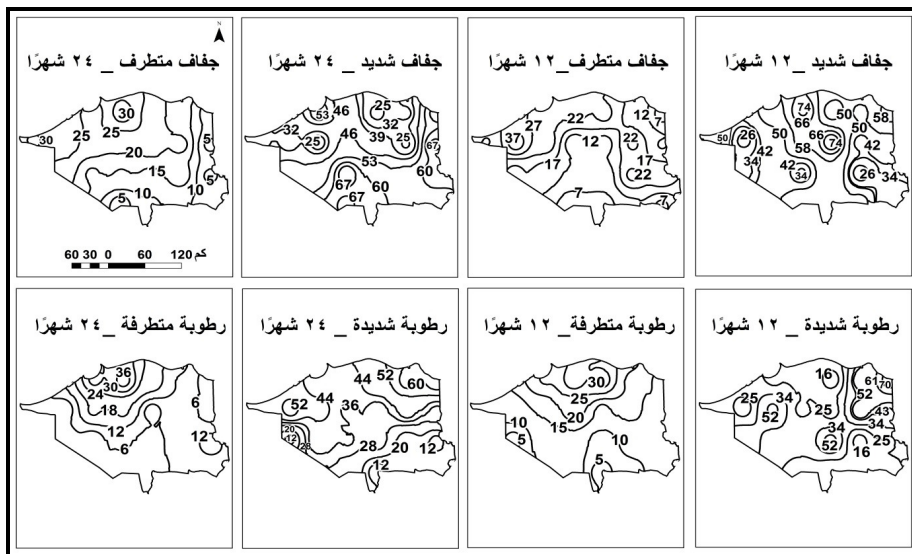
- أما بالنسبة للتطور الزمني لنسب تأثر مساحة سطح الدلتا بمعدلات تكرار الأحداث الجافة والرطبة والظروف المعتدلة، فقد اتضح تأثر حوالي نصف مساحة منطقة الدراسة بأحداث الجفاف المتطرفة، خاصة خلال العقد الأول من القرن الواحد والعشرين، ففي أعوام ٢٠١٣، ٢٠١١، و٢٠٠٩ تأثرت ٤٥٪، ٤٠٪، و٤٦٪ من الدلتا على التوالي بأحداث الجفاف المتطرف، أما بالنسبة لأحداث الجفاف الشديد فقد زادت مساحة الأرضى المتأثرة بها في منطقة الدلتا لأكثر من النصف، خاصة خلال العقدين الأول

والأخير للفترة ١٩٥٠-٢٠١٥، ففي أعوام ٢٠١٣ و ٢٠١٠ و ٢٠٠٩ و ١٩٩٩ و ١٩٥٨ و ١٩٥٠، تأثرت حوالي %٩٠ و %٧٧ و %٦٦ و %٧٢ على التوالي من مساحة منطقة الدراسة بأحداث الجفاف الشديدة. أما بالنسبة لمعدلات تكرار أحداث الرطوبة المتطرفة فقد ظهر تأثير تكرار حدوثها على مساحات متباينة من منطقة الدراسة، خاصة خلال عقدي السبعينيات والثمانينيات، ففي أعوام ٢٠١٥، %٤٥، و %٦٣، و %٣٦، و %٣٢ على التوالي من الدلتا. أما بالنسبة لأحداث الرطوبة الشديدة فقد اتضح تباين تأثيرها في الدلتا خلال الفترة ١٩٥٠-٢٠١٥، ففي أعوام ٢٠١٥ و ١٩٨٨ و ١٩٧١ و ١٩٦٥ و ١٩٥٧ تأثرت أراضي واسعة من منطقة الدراسة بأكبر معدل لتكرار أحداث الرطوبة الشديدة؛ حيث بلغت نسب تلك المناطق حوالي %٧٣ و %٦٣ و %٤٠ و %٣٦ و %٥٤ على التوالي من إجمالي الدلتا.



شكل (٩) : التطور الزمني لنسب تأثر مساحة السطح بأحداث الجفاف، ومقارنتها بالأحداث الرطبة في منطقة الدلتا المصرية للنطاق الزمني (٩ شهور) خلال الفترة ١٩٥٠-٢٠١٥.

المصدر: من عمل الباحث اعتماداً على بيانات مؤشر SPEI.



المصدر: من عمل الباحث اعتماداً على بيانات مؤشر SPEI.

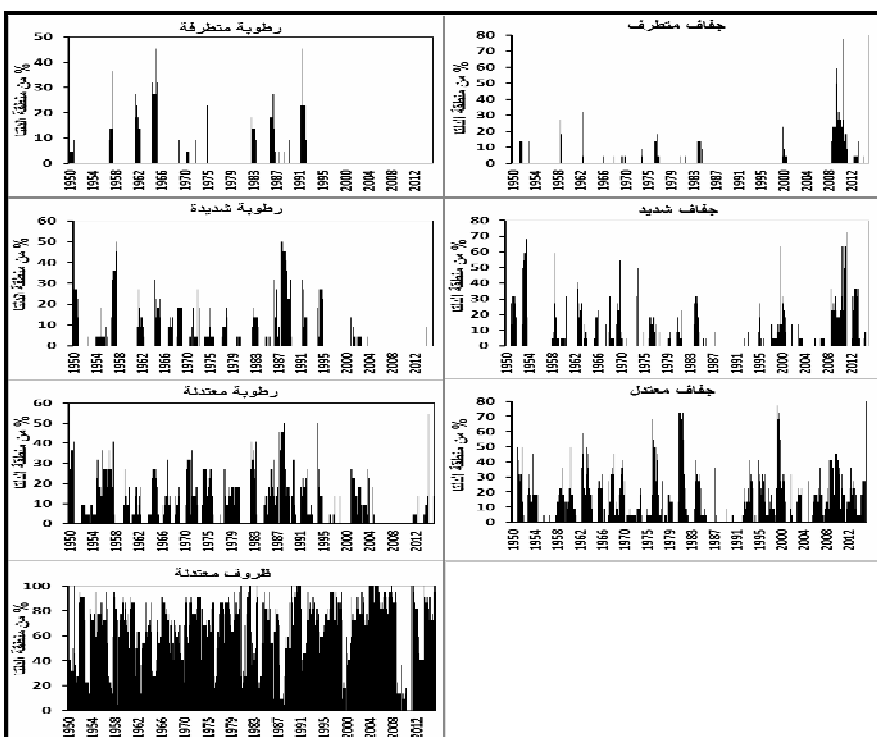
شكل (١٠) : الأنماط المكانية لمعدلات تكرار أحداث الجفاف والرطوبة للمناطق الزمنية المختلفة طويلة الأجل خلال الفترة ٢٠١٥-١٩٥٠ في منطقة الدلتا المصرية.

ج - بالنسبة للمناطق الزمنية الهيدرولوجية طويلة الأجل لمؤشر الجفاف (١٢، ٢٤ شهراً):

- فقد قدرت نسب تكرار أحداث الجفاف المتطرف والشديد والمعتدل بـ ٦٢٪، و ١٣٪ تقريباً على التوالي من إجمالي تكرار أحداث الجفاف والرطوبة والاعتدال بمنطقة الدلتا المصرية خلال الفترة ٢٠١٥-١٩٥٠، وبلغت نسب تكرار أحداث الجفاف المتطرف والشديد والمعتدل بـ ١١٪، و ٣٠٪، و ٦٠٪ تقريباً على التوالي بالنسبة لإجمالي تكرار أحداث الجفاف فقط بمنطقة الدلتا المصرية. بينما كانت نسب تكرار أحداث الرطوبة المتطرفة والشديدة والمعتدلة بـ ٢٪، و ٥٪، و ١٠٪ تقريباً على التوالي من إجمالي تكرار كل أحداث الجفاف والرطوبة والاعتدال بمنطقة الدلتا المصرية، وبلغت نسب تكرار أحداث الرطوبة المتطرفة والشديدة والمعتدلة بـ ١٢٪، و ٣٠٪، و ٥٨٪ على التوالي من إجمالي تكرار أحداث الرطوبة فقط بمنطقة الدلتا المصرية.

- بالنسبة لمستوى (١٢ شهراً) ظهر تأثير شمال وشمال غرب منطقة الدلتا ووسطها بأعلى معدل تكرار للأحداث الجافة المتطرفة والشديدة، أما بالنسبة لأحداث الرطوبة المتطرفة والشديدة فقد تكررت بمعدل أكبر في شمال وشمال شرق منطقة الدلتا المصرية في مقابل معدل أقل في جنوب وجنوب شرق وجنوب غرب. بينما لمستوى الزمني طويل الأجل

الهيدرولوجي (٢٤ شهراً) لوحظ تأثر شمال وشمال غرب ووسط منطقة الدلتا بأكثر معدل تكرار للأحداث المتطرفة الجافة، على العكس شهدت منطقة جنوب وجنوب شرق منطقة الدلتا أكثر معدل لتكرار أحداث الجفاف الشديدة، أما بالنسبة لأحداث الرطوبة المتطرفة والشديدة فقد تكررت بمعدل أكبر في شمال وشمال شرق وشمال غرب منطقة الدلتا المصرية في مقابل معدل أقل في جنوب وجنوب شرق وجنوب غرب منطقة الدلتا.



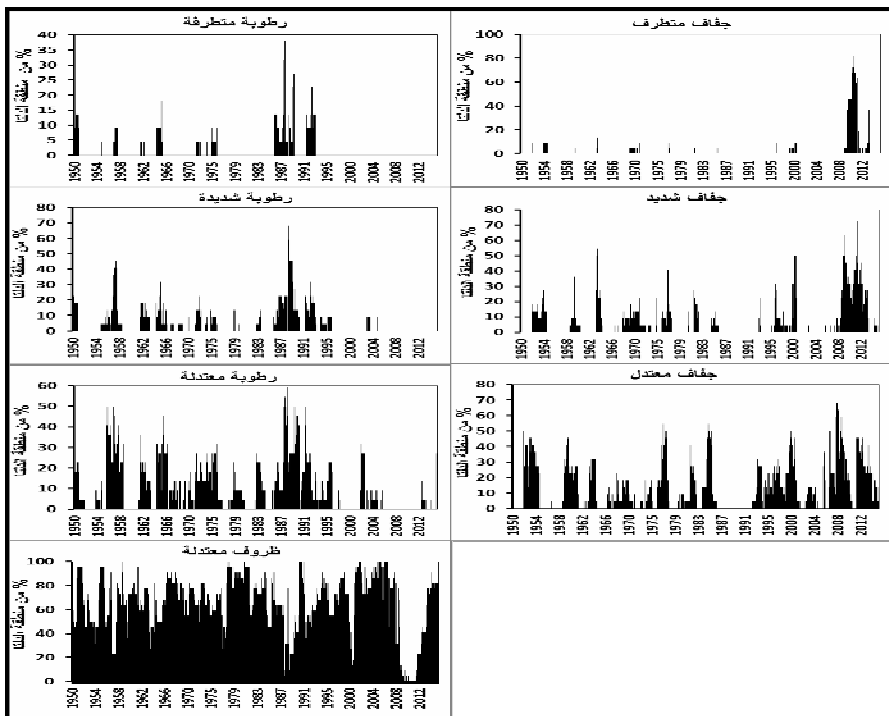
شكل (١١) : التطور الزمني لنسب تأثر مساحة السطح بأحداث الجفاف، ومقارنتها بالأحداث الرطبة في منطقة الدلتا المصرية للنطاق الزمني طويق الأجل (١٢ شهراً) خلال الفترة ١٩٥٠-٢٠١٥ .
المصدر: من عمل الباحث اعتماداً على بيانات مؤشر SPEI

أما بالنسبة للتغير الزمني لنسب مساحات السطح الدلتاوي المتأثرة بمعدلات تكرار الأحداث الجافة والرطبة والظروف المعتدلة في منطقة الدلتا؛ فقد اتضح زيادة تكرار أحداث الجفاف المتطرفة المؤثرة، خاصة خلال العقد الأول من القرن الواحد والعشرين وللمستوى الزمني الهيدرولوجي ٢٤ شهراً (موجة جفاف ٢٠١٣-٢٠٠٩)، ففي عامي ٢٠١١ و ٢٠٠٩ تأثرت ٨١% و ٦٠% من منطقة الدلتا على التوالي بأحداث الجفاف المتطرف، أما بالنسبة

لأحداث الجفاف الشديد فقد زادت مساحة الأراضي المتأثرة بها في منطقة الدلتا لأكثر من النصف، خاصة خلال العقد الأخير والعقد الأول في الفترة ١٩٥٠-٢٠١٥، في شكل عدة موجات جفاف طويلة (٢٠٠٨-٢٠١٣، ١٩٦٤-١٩٦٨ و ١٩٦٢ و ١٩٩٨-١٩٩٩)، ففي أعوام ١٩٥٣ و ١٩٦٢ و ١٩٩٩ و ٢٠٠٩ و ٢٠١١، تأثرت مساحة %٦٤ و %٤١ و %٦٨ على التوالي من مساحة منطقة الدراسة بأحداث الجفاف الشديدة. أما بالنسبة لتكرار أحداث الرطوبة المتطرفة فقد ظهر تأثير تكرار حدوثها على مساحات كبيرة من منطقة الدراسة خاصة خلال عقود الستينيات والثمانينيات والتسعينيات (موجة رطوبة ١٩٦١-١٩٦٥)، وموجة رطبة (١٩٨٦-١٩٨٩)، وموجة رطوبة (١٩٩١-١٩٩٢)، ففي أعوام ١٩٩٢ و ١٩٨٩ و ١٩٦٥ تأثرت %٤٥ و %٣٨ و %٤٥ على التوالي من منطقة الدلتا المصرية. أما بالنسبة لأحداث الرطوبة الشديدة فقد اتضح تأثيرها في منطقة الدراسة خلال الفترة ١٩٥٠-٢٠١٥ في شكل عدة موجات متباينة (١٩٩٣-١٩٥٤ و ١٩٦٢-١٩٦٦ و ١٩٨٧-١٩٨٨ و ١٩٨٦-١٩٨٥)، ففي أعوام ١٩٨٩ و ١٩٥٧ و ١٩٦٥ تأثرت أراضي واسعة من منطقة الدراسة بأكبر معدل لتكرار أحداث الرطوبة الشديدة بحيث بلغت نسب تلك المناطق %٢٥ و %٣٠ و %٦٣ و %٥٤ على التوالي من إجمالي منطقة الدراسة.

- وقد بينت الدراسة أن هناك زيادة في نسب الأحداث الجافة المتطرفة والشديدة والمعتدلة عنها بالنسبة للأحداث الرطبة المتطرفة والشديدة ومعتدلة الرطوبة، حيث تساوت نسبهما تقريباً في النطاق الزمني القصير (شهر)، وتباينت نسبياً خلال النطاقات الزمنية الأخرى، فبلغت للنطاق الزمني (٣ شهور) %٥٢ لأحداث الجفاف في مقابل %٤٨ لأحداث الرطوبة، وبزيادة مستمرة لبقية النطاقات الزمنية التراكمية حيث بلغت في نطاق (٦ شهور) %٥٤ للأحداث الجفاف في مقابل %٤٦ للأحداث الرطوبة، كما بلغت في نطاقات طويلة الأجل (٩ شهور و ١٢ شهراً و ٢٤ شهراً) %٥٧ للأحداث الجفاف في مقابل %٤٣ للأحداث الرطوبة. وقد كشفت نتائج دراسة النطاقات الزمنية التراكمية قصيرة الأجل على مستوى (شهر و ٣ شهور و ٦ شهور) عن وتبيرة زمنية أعلى للأحداث الجافة والرطبة بعكس النطاقات الزمنية الأكثر طولاً وأجيلاً على مستوى (٩ شهور و ١٢ شهراً و ٢٤ شهراً)، والتي ثبّن ترددًا أكثر استقراراً، حيث تستجيب ببطء أكثر وبشكل أكثر اتساقاً للتغيرات في سقوط الأمطار ودرجة الحرارة الشهرية، وتساعد بالتالي في الكشف عن فترات واضحة من السنة والسنوات متعددة الجفاف والرطوبة؛ مما يعني أن النطاقات الزمنية الأطول هي الأقرب للكشف عن أحداث الجفاف والرطوبة المهمة تاريخياً، بينما أقصر النطاقات الزمنية أهم لإظهار الاختلافات الموسمية وبين السنوية.

ومن الناحية التطبيقية يُعد حدث الجفاف قصير الأجل بمثابة مقدمة لحادثة الجفاف الطويلة الأجل، والتي تؤدي إلى آثار هيدرولوجية (انخفاض مستويات الخزان، والتتدفق المحدود للمجاري المائية، واستنزاف المياه الجوفية، وغيرها).

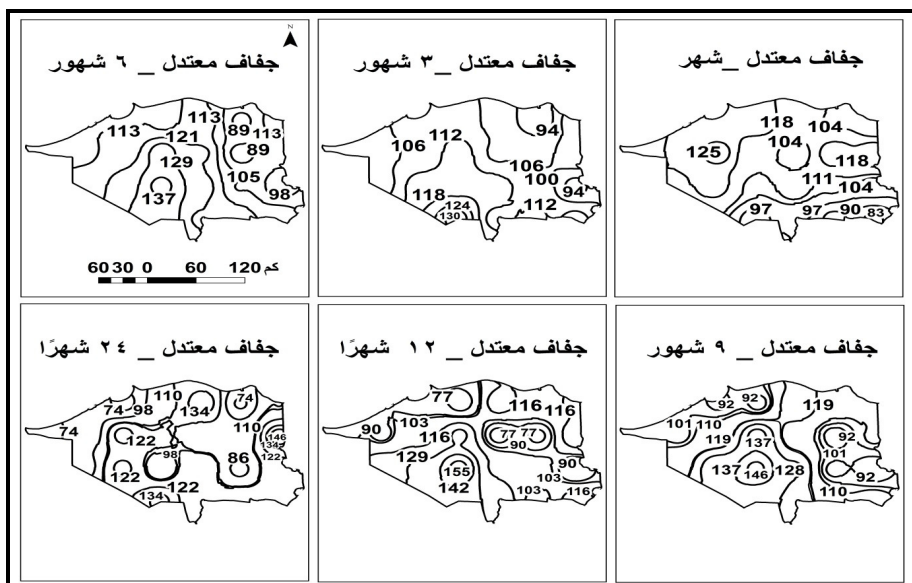


شكل (١٢) : التطور الزمني لنسب تأثر مساحة السطح بأحداث الجفاف، ومقارنتها بالأحداث الرطبة في منطقة الدلتا المصرية للنطاق الزمني طول الأجل (٢٤ شهراً) خلال الفترة ١٩٥٠-٢٠١٥ .

المصدر: من عمل الباحث اعتماداً على بيانات مؤشر SPEI.

أما بالنسبة لاتجاه معدلات تكرار الأحداث الجافة والرطبة خلال كل النطاقات الزمنية لمتوسط الدلتا المصرية في الفترة ١٩٥٠-٢٠١٥؛ فقد تبين أن هناك اتجاهًا عاماً نحو الزيادة في تكرار أحداث الجفاف المتطرفة، وبدالة معنوية مرتفعة عند مستوى (٠٠٠١) خلال كل النطاقات الزمنية لمؤشر SPEI، ولأحداث الجفاف الشديد بدالة معنوية فقط خلال نطاقات قصيرة وطويلة الأجل (١ و ٣ و ٢٤) شهراً، كما اتضحت الدلالة المعنوية لاتجاه نحو الزيادة في أحداث الجفاف المعتدل خلال أغلب النطاقات الزمنية للمؤشر؛ حيث كانت معدلات تكراره خلال كل النطاقات الزمنية في زيادة مستمرة مقارنة بالرطوبة المعتدلة، ويتركز

واضح على المستوى قصير الأجل في شمال الدلتا، بينما في وسط وجنوب وجنوب غرب منطقة الدلتا للمستويات الزمنية متوسطة وطويلة الأجل، كما يوضح الشكل رقم (١٣)، أما الظروف المعتدلة فقد لوحظ تباين الاتجاه على للمستويات الشهرية للمؤشر، فظهر الاتجاه نحو النقصان لمستويات قصيرة ومتوسطة وطويلة الأجل، خاصة خلال المستوى (٣، ٣) شهرًا، وبدلة معنوية. أما بالنسبة للأحداث الرطبة فقد تبين الاتجاه العام نحو النقصان في الأحداث الرطبة المنطرفة والشديدة والمعتدلة، ومعدلات نقصان أكبر، وبدلة معنوية مرتفعة عند مستوى (٠،٠١) خلال المستويات الزمنية متوسطة وطويلة الأجل (٩ و ١٢ و ٢٤) شهرًا، وبدلة أقل خلال المستويات قصيرة الأجل (١، ٣) شهور.



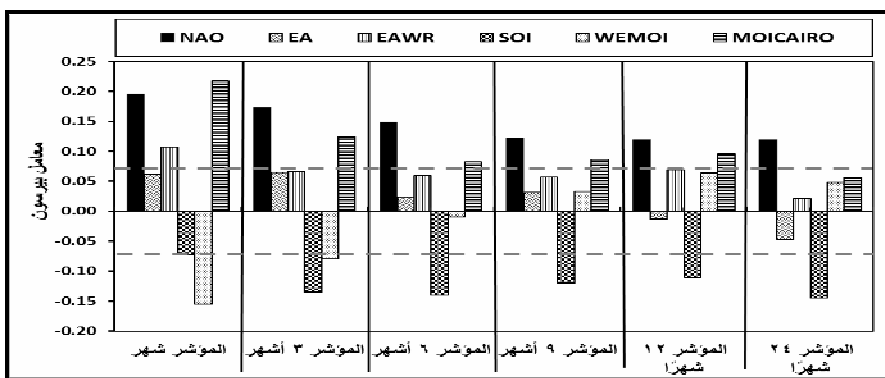
شكل (١٣) : الأنماط المكانية لمعدلات تكرار أحداث الجفاف المعتدل للمناطق الزمنية المختلفة خلال الفترة ١٩٥٠-٢٠١٥ في منطقة الدلتا المصرية.

المصدر: من عمل الباحث اعتماداً على بيانات مؤشر SPEI.

(٣) بالنسبة لعلاقات الارتباط بين الجفاف SPEI وأهم أنماط الدورات الهوائية العامة :

- يُعرف الاتصال عن بعد Teleconnections في الغلاف الجوي بأنه المناطق البعيدة التي تتاثر بالتغييرات واسعة النطاق لأنماط الدورة الهوائية في الغلاف الجوي. وتوجد العديد من المؤشرات لقياس تلك التقلبات والتغييرات في درجات الحرارة والضغط الجوي لسطح البحر

والمحيطات والغلاف الجوي؛ لذلك من المهم للغاية فهم ارتباط الجفاف بالعوامل المناخية المحلية والمحيطية (المتعددة، والمعقدة) باعتبارها أحد المحرّكات الرئيسة للجفاف، فعادة ما ترتبط الظروف الجافة (الرطبة) بأضداد الأعاصير (الأعاصير)، حيث إن العلاقة القوية بين الجفاف والحرارة المفرطة تعكس جزئياً الدور الرئيس للأعاصير المضادة في تنمية الجفاف؛ فأضداد الأعاصير أو مناطق الضغط المرتفع تمنع هطول الأمطار عن طريق عرقلة أو تحويل أنظمة الرياح الغربية والعواصف، وزيادة التسميس المرتبط بالسماء الصافية، ومن ثم زيادة درجات الحرارة، وقلة سقوط الأمطار عكس ظروف الأعاصير (Schubert, et al., 2014; Ionita, et al., 2015; Vicente-Serrano, et al., 2016b طروف الجفاف والرطوبة بمؤشرات وأنماط التنبؤ المناخي في دوران الغلاف الجوي لمسافات طويلة عن بعد؛ كتغيرات درجات حرارة سطح البحر الشاذة، وعلى سبيل المثال ظاهرة النينو، واللاتينيا، التي أوضحت عديد من الدراسات تأثيرها على أحداث الجفاف، ومن تلك الدراسات على المستوى العالمي والإقليمي: (Dai, 2011; Vicente-Serrano, et al., 2011; Hoerling Kumar, 2003; Edossa, et al., 2014; Ionita, et al., 2015; Vicente-Serrano, et al., 2016a; Yao, et al., 2019) وقد طبق اختبار الارتباط الاحصائي على سلاسل البيانات الكاملة الشهرية للمؤشر وللأنماط الهوائية بعد إزالة أثر الاتجاه منها باستخدام برنامج EXCEL. ويوضح الشكلان الآتيان رقما (١٤، ١٥) علاقة الارتباط بين مؤشر الجفاف SPEI وبين أهم أنماط الدورات الهوائية العامة في الغلاف الجوي خلال الفترة ١٩٥٠-٢٠١٥.



شكل (١٤) : علاقة الارتباط بين الجفاف لمتوسط الدلتا وأهم مؤشرات دوران الغلاف الجوي خلال الفترة ١٩٥٠-٢٠١٥ (الخط المنقط يدعى بداية الدلالة المعنوية عند مستوى ٠.٠٥%).

المصدر: من عمل الباحث اعتماداً على بيانات مؤشر الجفاف، وبيانات أنماط الدورات الهوائية في الغلاف الجوي.



شكل (١٥) : التوزيع الجغرافي لعلاقة الارتباط بين الجفاف في الدلتا، وأهم أنماط الدورات الهوائية خلال الفترة ١٩٥٠-٢٠١٥ (مستوى الدلالة المعنوية ٥٠,٠٥ عند قيمة ارتباط ٦٩٪).

المصدر: من عمل الباحث اعتماداً على بيانات مؤشر الجفاف وبيانات أنماط الدورات الهوائية.

يتضح من الشكلين رقمي (١٤، ١٥) تأثر أحداث الجفاف بالعديد من أنماط الدورات الهوائية كالآتي:

- بالنسبة لمتوسط منطقة الدراسة فقد اتضح وجود علاقة ارتباط موجبة ودالة إحصائياً عند مستوى (.٠٠١) بين مؤشر SPEI وبين الوجه السالب لنمط تذبذب شمال الأطلسي أو الناول NAO (حيث الظروف الأكثر جفافاً في منطقة جنوب أوروبا وحوض البحر الأبيض المتوسط) على مستوى كافة النطاقات الزمنية قيد الدراسة (شهر و ٣ شهور و ٦ شهور و ٩ شهور و ١٢ شهراً و ٢٤ شهراً)، كما أكدته نتائج عديد من الدراسات، خاصة في جنوب أوروبا من حيث الارتباط الموجب بين الناول ومؤشر الجفاف SPEI كدراسات: Lopez-Moreno and Vicente-Serrano, 2008; Wang, et al., 2015a; Ionita, (et al., 2015; Vicente-Serrano, et al., 2016b; Miksovsky, et al., 2019 تبين وجود علاقة ارتباط سالبة ودالة معنوياً عند مستوى (.٠٠١) في أغلبها بين المؤشر وبين نمط التذبذب الجنوبي SOI، المعبر عن ظاهرة النينو على مستوى كافة النطاقات الزمنية، وبذلك يتبيّن تأثر أحداث الجفاف في منطقة الدراسة بمؤشر التذبذب الجنوبي والوجه الموجب الدافئ لظاهرة النينو، فمع زيادة ظاهرة النينو ونشاطها تزداد أحداث الجفاف في منطقة الدراسة، فأحداث النينو تؤدي إلى توليد المزيد من حالات الجفاف على مستوى العالم أكثر من أحداث اللانينا، ومن آخرتها في التاريخ المسجل: نينو -١٩٨٢ -١٩٨٣، والتي قد تسبيّت في أحداث جفاف ورطوبة واسعة النطاق، طالت أيضاً منطقة الدلتا المصرية خلال عقد الثمانينيات (Vicente-Serrano, 2011; Edossa, et al., 2014)، والعكس بالنسبة للوجه الآخر البارد، والمعرف باللانينا؛ حيث تزداد معه أحداث الرطوبة، أيضاً اتضحت دلالة العلاقة الارتباطية الموجبة عند مستوى (.٠٠٥) بين مؤشر الجفاف ونمط تذبذب البحر المتوسط (القاهرة - الجزائر) MOI؛ حيث وجهه السالب الذي يعكس ظروفًا أكثر جفافاً مع تبخر عالي (Criado-Aldeanueva and Soto-Navarro, 2013) وذلك خلال أغلب النطاقات الزمنية، عدا نطاق (٢٤ شهراً)، أما بالنسبة للعلاقة الارتباطية لمؤشر الجفاف مع نمط تذبذب غرب البحر المتوسط WEMOI فكانت سالبة ودالة معنوياً عند مستوى (.٠٠٥) لنطاق (شهر و ٣ أشهر) فقط؛ حيث الارتباط بالوجه الموجب المسبب لأحوال الجفاف في منطقة غرب حوض البحر المتوسط، كما أكدته أيضاً نتائج دراسة (Manzano, et al., 2019) جنوب شرق إسبانيا، كذلك اقتصرت الدلالة المعنوية للارتباط الموجب بين تذبذب شرق الأطلسي غرب

روسيا EAWR وبين مؤشر الجفاف على مستوى النطاق الزمني (شهر) فقط، بينما لم يُلحظ تأثير نمط تذبذب شرق الأطلسي EA على مؤشر الجفاف SPEI على مستوى كافة النطاقات الزمنية التراكيمية لمؤشر الجفاف، وهذا ما أكدته عديد من الدراسات من ضعف تأثير نمطي EA و EAWR على مؤشر الجفاف؛ دراسة (Vicente-Serrano, et al., 2016b).

أما بالنسبة للتوزيع الجغرافي لعلاقة الارتباط بين المؤشر وبين أنماط الدورات الهوائية العامة ومؤشر الجفاف، فقد يتبيّن ما يلي: ظهر بشكل واضح تأثير نمط تذبذب الناول NAO كأحد الأنماط الهوائية المؤثرة في مؤشر الجفاف خلال النطاقات الزمنية قصيرة ومتوسطة الأجل (١، ٣، ٦ أشهر)، وذلك في أغلب الدلتا، خاصة شمالها وشمال غربها، كذلك اتضح تأثير نمط التذبذب الجنوبي SOI على مؤشر الجفاف النطاقات الزمنية قصيرة الأجل، وبشكل واضح في شرق وشمال شرق الدلتا المصرية، أيضًا أظهرت النتائج تأثير مؤشر الجفاف بنمط تذبذب البحر المتوسط، خاصة خلال الفترات الزمنية قصيرة الأجل للمؤشر (١، ٣) أشهر، وبشكل واضح في شمال وشمال غرب منطقة الدلتا. كما اتضح تأثير نمط تذبذب غرب البحر المتوسط WEMOI على المؤشر خلال الفترات القصيرة الأجل (١، ٣) أشهر، وبشكل واضح في وسط وغرب الدلتا المصرية، أما بالنسبة لفترات أو نطاقات المؤشر طويلة الأجل (٩، ١٢، ٢٤) شهراً، فقد بينت النتائج غالباً تأثير نمطي: التذبذب الجنوبي أو النينو على مؤشر الجفاف، وبشكل واضح في وسط وشرق وجنوب شرق منطقة الدراسة، ونمط تذبذب البحر المتوسط أو الناول على مؤشر الجفاف، وبشكل كبير في شمال وشمال شرق ووسط وشمال غرب الدلتا.

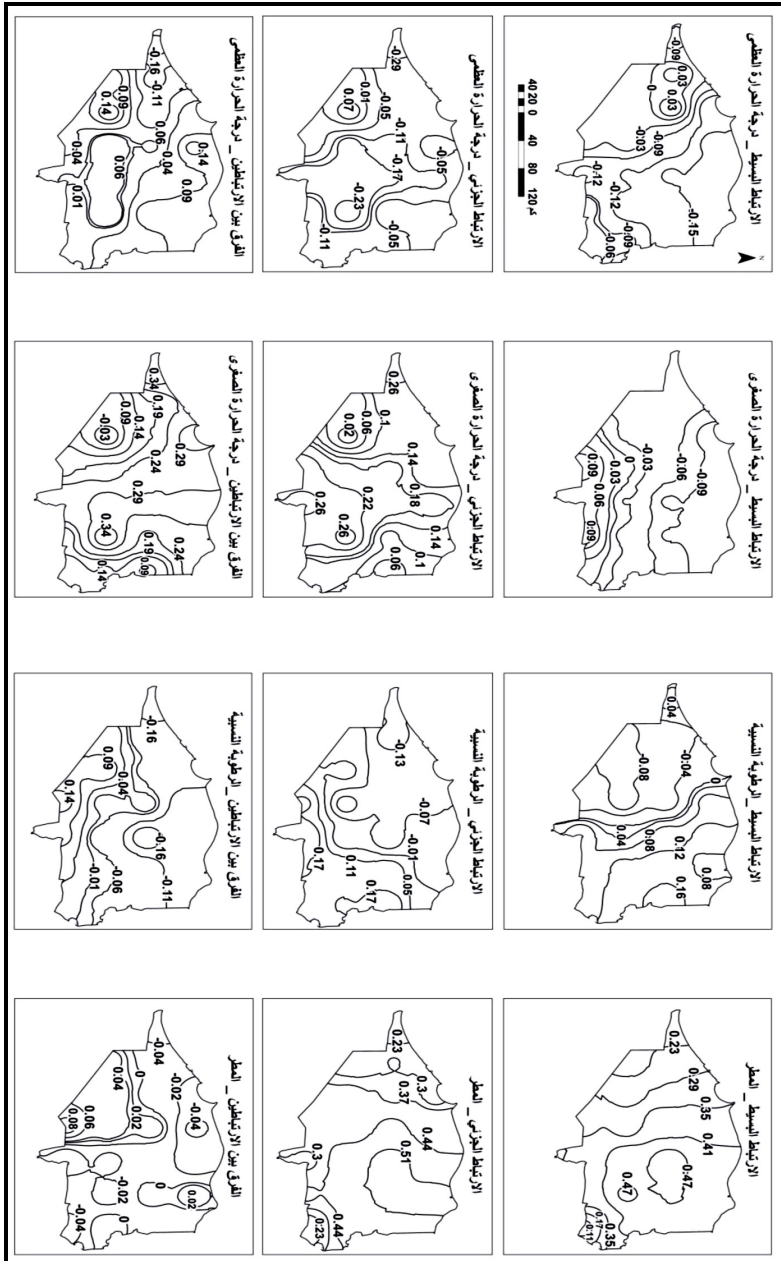
٤) بالنسبة للعلاقة بين الجفاف وبعض عناصر المناخ في الدلتا المصرية خلال الفترة: ١٩٥٠-٢٠١٥ :

يتضح من الجدول رقم (٤) والشكليين رقمي (١٦)، (١٧) مقارنة بين متوسط علاقات الارتباط البسيط والجزئي بين بعض عناصر المناخ ومؤشر الجفاف SPEI لكل السلسلة ولكلة النطاقات الزمنية، والتوزيع الجغرافي لعلاقات الارتباط البسيط والجزئي وبين عناصر المناخ والمؤشر، والفارق بينهما في منطقة الدلتا المصرية خلال كل النطاقات الزمنية، خاصة قصيرة الأجل الأكثر وضوحاً (١، ٣ شهور)، ما يلي:

جول (٤) : علاقة الارتباط بين مؤشر الجفاف و بعض عناصر المناخ للدلتا المصرية للفترة ١٩٥٧-١٩٠٢

المصدر: من عمل الباحث اعتماداً على بيانات المؤشر SPEI، وبيانات عناصر المناخ للمحطات الأرضية.

شكل (١٦) : التوزيع الجغرافي لعلاقة الارتباط البسيط والجزئي بين عناصر المناخ ومؤشر الجفاف في الدلتا المصرية على مستوى (١٠ و ٣ شهور) خلال الفترة ١٩٥٧-٢٠٠٠ .
المصدر: من عمل الباحث اعتماداً على بيانات المؤشر SPEI، وبيانات عناصر المناخ للمحطة الأذرية.





شكل (١٧) : التوزيع الجغرافي لعلاقات الارتباط البسيط والجزئي بين عناصر المناخ ومؤشر الجفاف في الدلتا المصرية على مستوى (٣ شهور) خلال الفترة ١٩٥٧-٢٠٠٦.

المصدر: من عمل الباحث اعتماداً على بيانات المؤشر وبيانات عناصر المناخ للمحطات الأرضية.

- بالنسبة لمتوسط الدلتا المصرية، كانت عدم الدلالة الإحصائية لعلاقات الارتباط البسيط والجزئي مع مؤشر SPEI هي السائدة لأغلب العناصر المناخية (كل سلسلة البيانات الشهري)، عدا عنصر المطر في كافة النطاقات الزمنية، وبشكل أوضح للنطاقين (١، ٣ شهور)، كما اتضح تغير شكل علاقة الارتباط وقيمتها بزيادة الارتباط الجزئي، حيث بلغت علاقات الارتباط الجزئي بين المطر والمؤشر على مستوى قصير الأجل (شهر) ٤،٠، وعلى مستوى الأمد المتوسط (٦ شهور) ٢،٠، وقلت بالنسبة للنطاق طويل الأجل (٤٢ شهر) حيث بلغت ١،٠، وبدلة معنوية عند مستوى (٠،٠٥)، مما يشير إلى أهمية المطر في أحداث الجفاف في منطقة الدراسة؛ حيث مع زيادة المطر يقل الجفاف والعكس. كما تبين وجود زيادة في مقدار الارتباط الجزئي بين المطر وبين مؤشر SPEI عنه في الارتباط البسيط بعد عزل أو تثبيت أثر بقية العناصر بشكل غير ظاهر، وذلك في إطار العلاقة البيئية المتداخلة

والمعقدة؛ مما يعني أهمية دور المطر في الأحداث الجافة في منطقة الدراسة خلال كل النطاقات الزمنية قصيرة ومتوسطة وطويلة الأجل. كما ظهر أيضاً تأثير عنصر درجة الحرارة العظمى والصغرى على مؤشر الجفاف SPEI، وبدلالة معنوية واضحة فقط على المستوى قصير الأجل (شهر)، وبالرغم من ضعف العلاقة بين تلك العناصر والجفاف في منطقة الدراسة خلال نطاقات زمنية أكبر، إلا إن الجفاف بأنواعه المختلفة يتأثر بعامل كثيرة، وأن عاملًا واحدًا قد لا يؤثر بشكل أساسي على ظروف الجفاف في منطقة الدلتا. وقد اتفقت النتائج الحالية مع نتائج عديد من الدراسات التي اهتمت بتقييم علاقة الارتباط الجزئي لعناصر المناخ مع الجفاف، ومنها: دراسة (Liu, et al., 2011; Sayari, et al., 2013; Liang, et al., 2014; Ficklin, et al., 2015).

بالنسبة للتوزيع الجغرافي لعلاقات الارتباط، فقد ظهرت الدلالة المعنوية بشكل واضح خلال المستوى الزمني قصير الأجل (شهر وثلاثة شهور) فقد تبين وجود تغير واضح بين الارتباطين والمؤشر لصالح الارتباط الجزئي بعد عزل أو تثبيت أثر بعض العناصر المناخية بشكل غير ظاهر، ففي الارتباط الجزئي على مستوى (شهر) جاء المطر كأهم العناصر المؤثرة في مؤشر الجفاف في كل منطقة الدراسة، وبدلالة معنوية خاصة في شمال شرقها وشرقها، كما ظهر تأثير درجة الحرارة العظمى على المؤشر بشكل كبير في أغلب المنطقة، وبدلالة معنوية واضحة في وسط منطقة الدلتا وجنوبها وغربها، فكلما زادت درجات الحرارة العظمى ساعد ذلك على زيادة الجفاف، كذلك اتضح تأثير درجة الحرارة الصغرى على المؤشر، وبدلالة معنوية تركزت في وسط منطقة الدلتا وجنوبها وغربها، فمع انخفاض درجات الحرارة الصغرى يزداد المدى الحراري، وبالتالي ظروف مناخية أكثر قارية وت bx عالي وجفاف، وبالنسبة للرطوبة فقد اتضحت دلالة ارتباطها الجزئي وتأثيرها على مؤشر الجفاف في وسط وشمال غرب منطقة الدراسة، فمع زيادة الرطوبة يزداد الجفاف، خاصة وأن تلك المناطق تشهد ارتفاعاً في درجات الحرارة، كذلك في جنوب منطقة الدلتا وشرقها، رغم قلة الرطوبة إلا أن الجفاف يزداد؛ لأن جزءاً كبيراً منها يمثل صحراء شرق الدلتا وهوامش صحراوية، وهي مناطق تشهد اتجاهها نحو زيادة الاحتياط، وكذلك كل الدلتا المصرية (إبراهيم، ٢٠١٨). أما على مستوى النطاق الزمني (٣ شهور) كان أيضاً المطر أهم العناصر المؤثرة في مؤشر الجفاف خلال الارتباط الجزئي في كل منطقة الدراسة، وبدلالة معنوية خاصة في وسط وشرق وشمال شرق منطقة الدلتا، كذلك اتضح تأثير الحرارة العظمى والصغرى بدلالة معنوية في وسط وشرق وجنوب شرق منطقة الدلتا، أما عنصر الرطوبة فظهر تأثيره في وسط وشرق منطقة الدلتا.

٥) بالنسبة لأثر الجفاف على محصولي القمح والبرسيم المستديم في منطقة الدلتا المصرية خلال الفترة ١٩٩٩-٢٠١٥:

يتضح من الجدول رقم (٥) علاقة الارتباط بين مؤشر الجفاف SPEI للمناطق الزمنية قصيرة ومتوسطة الأجل (١ و ٣ و ٦ شهور) وبين إنتاج محصول القمح ومساحاته المزروعة سنويًا (فترة زراعة تصل إلى ٦ شهور) في محافظات منطقة الدلتا المصرية خلال الفترة ٢٠٠٠-٢٠١٥، ما يلي:

جدول (٥) : علاقة الارتباط بين مؤشر الجفاف SPEI للمناطق الزمنية قصيرة ومتوسطة الأجل وبين إنتاج محصول القمح ومساحاته المزروعة سنويًا في محافظات الدلتا خلال الفترة ٢٠٠٠-٢٠١٥.

%	متوسط المساحة (طن)	متوسط الإنتاج (طن)	متوسط	مؤشر الجفاف (شهر)	مؤشر الجفاف (٣ شهور)			مؤشر الجفاف (٦ شهور)			الإسكندرية	
					علاقة الارتباط			علاقة الارتباط				
					للمساحة	للاتجاح	للمساحة	للاتجاح	للمساحة	للاتجاح		
3.99	65265.313	3.69	167574.44	-0.21	-0.25	-0.10	-0.14	-0.03	-0.07			
17.46	285419.38	17.94	815258.5	**-0.63	**-0.62	*-0.55	*-0.51	*-0.48	-0.40	البحيرة		
8.74	142897.5	9.00	409183.5	**-0.74	**-0.68	**-0.74	**-0.65	**-0.62	*-0.49	الغربية		
13.23	216309.63	12.93	587740.69	**-0.86	**-0.81	**-0.82	**-0.77	**-0.69	**-0.64	كفر الشيخ		
17.09	279376.06	17.55	797885.25	*-0.57	*-0.50	**-0.61	*-0.50	**-0.61	*-0.48	الدقهلية		
1.58	25869	1.48	67275.75	**-0.68	**-0.67	**-0.72	**-0.68	**-0.66	**-0.58	دمياط		
22.15	362180.31	21.36	970957.44	**-0.84	**-0.67	**-0.74	*-0.52	**-0.61	-0.36	الشرقية		
2.69	43995.875	2.35	106919.25	**-0.75	**-0.74	**-0.67	**-0.61	**-0.63	*-0.52	الإسماعيلية		
0.81	13306.813	0.67	30375.813	**-0.58	**-0.72	**-0.67	**-0.76	**-0.69	**-0.69	بور سعيد		
0.22	3623.3125	0.19	8855.375	-0.25	-0.24	-0.04	-0.04	-0.08	-0.07	السويس		
6.73	110011.31	7.36	334670.69	*-0.57	*-0.54	-0.36	-0.33	-0.21	-0.19	المنوفية		
2.98	48759.813	2.96	134522.56	*-0.56	-0.42	-0.38	-0.25	-0.29	-0.16	القليوبية		
0.01	164.875	0.01	399.75	0.24	0.25	0.15	0.16	0.32	0.33	القاهرة		
2.32	37870.5	2.50	113589.69	0.09	0.25	0.12	0.30	0.04	0.23	الجيزة		
100	1635049.7	100	4545208.7	**-0.73	**-0.66	**-0.62	*-0.51	*-0.54	-0.40	متوسط الدلتا		

(**) دلالة مغنية عند مستوى ٠.٠٥ . (*) دلالة مغنية عند مستوى ٠.٠١ .

المصدر: من عمل الباحث اعتماداً على بيانات مؤشر الجفاف، وبيانات وزارة الزراعة واستصلاح الأراضي، قطاع الشئون الاقتصادية، مديرية الزراعة بالمحافظات، سنوات مختلفة.

يُعد القمح أحد أهم الحبوب الغذائية الرئيسية في مصر؛ نتيجة اعتماد الإنسان عليه في غذائه بشكل كبير، ومع ذلك توجد جفوة كبيرة بين إنتاج القمح واستهلاكه، ولذا تقوم الدولة باستيراد حوالي ٤-٦ مليون طن سنويًا. وتبلغ فترة زراعته تقريباً (٦ شهور) في مصر، حيث يزرع في الخريف، ويحصد في الربع وبذلة الصيف، وتُعد أنساب فترة لزراعته من ١٥ إلى ٣٠ نوفمبر، وتزرع منه العديد من الأصناف، ويُقدر المقدار المائي للقمح بحوالي ١١٠٠ متر مكعب من

المياه في الوجه البحري، في حين يبلغ ١٤٨٠ مترًا مكعبًا في مصر الوسطى والعليا على التوالي، وبذلك يبلغ المقنن المائي له في الوجه البحري تقريبًا نصف المقنن المائي في الوجه القبلي، نظرًا لأن القمح الشتوى يقضى بداية حياته في فترة نهاية الخريف، حيث تتحفظ فيها درجة الحرارة، كما أنه يزرع في الدلتا التي يسقط المطر فيها ولو بقلة شتاءً (وزارة الزراعة، ٢٠٠٣، ٢٠١٤).

- وفي منطقة الدلتا التي تضم (١٤) محافظة إدارية، تستأثر محافظات (الشرقية، والبحيرة، والدقهلية، وكفر الشيخ، والغربيّة) بما يقرب من ٦٨٠٪ من إجمالي المساحات المزروعة بالقمح وإنتجاه في منطقة الدلتا خلال الفترة ٢٠١٥-٢٠٠٠، وبنسبة ٤٥٪ تقريبًا من إجمالي المساحة والإنتاج في مصر خلال ذات الفترة، وبالرغم من ذلك تتعرض تلك المنطقة لظروف جفاف مناخي وزراعي وهيدرولوجي واسعة، خاصة خلال العقود الأخيرة، تؤثر في الكفاءة الإنتاجية والمساحة للمحاصيل، وعلى رأسها القمح، وهو ما يتضح من الجدول رقم (٥)، الذي يبين علاقة الارتباط بين مؤشر الجفاف SPEI للنطاق الزمني (٦ شهور) وبين إنتاج محصول القمح ومساحاته المزروعة سنويًا (فترة زراعته تصل إلى ٦ شهور) في محافظات منطقة الدلتا المصرية؛ وذلك لأن الزراعة في الدلتا مروية، ولا تتأثر كثيرًا بالنقص المباشر من الأمطار بقدر تأثيرها كذلك بالحرارة، وزيادة معدلات التبخر النتحي خلال فترة وجود المحصول في الأرض، وقد تبين وجود علاقة ارتباط عكسية ذات دلالة معنوية عند مستوى (٠,٠٥) في أغلب تلك المحافظات خلال الفترة ٢٠١٥-٢٠٠٠، خاصة محافظة الدقهلية والغربيّة وكفر الشيخ؛ حيث تعرضت الدلتا لأشد حالات الجفاف خلال تلك الفترة، كذلك ما تؤكده العديد من الدراسات العالمية والإقليمية عن الاتجاه نحو الاحترار العالمي وأثر ذلك بالضرورة على كافة الأنشطة: (Kostopoulou and Jones, 2005; Zhang, et al., 2005; Alexander, et al., 2004; Kenawy, et al., 2006; Donat, et al., 2013; Hasanean, 2014; Mohamed and Hussein, 2014; Nashwan, et al., 2019) ، وعن الدلتا المصرية، دراسة (إبراهيم، ٢٠١٨)، التي بيّنت أن الدلتا المصرية تواجه اتجاهًا عامًا نحو الزيادة في مؤشرات التطرف الحراري الدافئة لدرجات الحرارة العظمى والصغرى على المستوى السنوي والفصلي، وينبع ذلك الاحترار من زيادة التبخر وتعرض التربات لفقدان أكثر للمياه بما يؤثر على الوفاء باحتياجات المحاصيل المائية، ومع زيادة الجفاف على المستويات طويلاً الأمد. ورغم تنظيم مياه الري في الدلتا إلا أنه لا مجال للشك أن الدلتا تتعرض لجفاف هيدرولوجي (نقص أمطار وحرارة وتبخر)، ونقص بدرجة ما في إمداداتها من مياه الري عن المعدلات الطبيعية، وبالتالي نقص مياه الترع والقنوات المائية وانخفاض منسوبها، خاصة وأنه

ما زالت كثيرة من الترع والمصارف في الدلتا غير معططة. كما يتضح من الجدول (٥) أيضًا زيادة الدلالة المعنوية لعلاقة الارتباط بين مؤشر الجفاف SPEI والإنتاجية والمساحة المحصولية في الدلتا خلال مستوى زمني أقل (١، ٣) على اعتبار الآثار التي يسببها الجفاف المناخي خلال تلك الفترات قصيرة الأجل على المحصول أثناء فترة نموه؛ تسبب إجهادًا يتبعه بالضرورة حدوث نقص في الإنتاجية والمساحة المقدرة والمرورية.

- أما بالنسبة لمحصول البرسيم المستديم، فيعد البرسيم المستديم المصري أحد أهم محاصيل العلف الأخضر وأكثراها انتشاراً في مصر ومنطقة الدلتا المصرية، والذي يزرع خلال فصل الشتاء، وتتجه زراعته في الأراضي الأكثر احتفاظاً بالرطوبة، كما أنه يُعد من المقومات الأساسية لاستدامة خصوصية التربة المصرية من خلال تحسينه لخواصها الطبيعية والكيميائية والحيوية، وبعد العلف الرئيس للثروة الحيوانية في مصر والدلta، باعتباره غذاءً كاملاً للحيوانات، كما أنه أيضًا من أهم المحاصيل المستخدمة كغذاء لنقل العسل، ويوفر لمصر ٣,٥ مليار دولار سنويًا إذا ما تم استيراده من الخارج، ويُزرع في النصف الأول من أكتوبر، ويستمر حتى نهاية الربع (وزارة الزراعة، ٢٠٠١، ٢٠٠٧).

- وتبلغ متوسط نسبة المساحة المزروعة منه في مصر أكثر من مليون ونصف فدان خلال الفترة ١٩٩٩-٢٠١٥، وتبلغ مساحة المحصول في الدلتا المصرية أكثر قليلاً من مليون فدان، بنسبة ٦٣٪ من إجمالي مساحات المحصول على مستوى الجمهورية، كما بلغ متوسط إنتاج المحصول ما يقرب من خمسين مليون طن خلال الفترة ١٩٩٩-٢٠١٥، تستأثر محافظات منطقة الدلتا قيد الدراسة حوالي ٦٣٪ من إجمالي إنتاج الجمهورية بمقدار ٣٠ مليون طن خلال الفترة ١٩٩٩-٢٠١٥. ويتبين من الجدول رقم (٦) وجود ارتباط بين الجفاف على مستوى النطاقات الزمنية قصيرة ومتوسطة الأمد وبين إنتاجية محصول البرسيم المستديم ومساحته خلال الفترة ١٩٩٩-٢٠١٥، خاصة في المحافظات الأكثر إنتاجاً والأكبر مساحة للمحصول. كما يتضح من الجدول (٦) أيضًا زيادة الدلالة المعنوية لعلاقة الارتباط بين مؤشر الجفاف SPEI والإنتاجية والمساحة المحصولية لمحصول البرسيم المستديم في الدلتا خلال مستوى زمني أقل (١ و ٣) شهور على اعتبار الآثار التي يسببها الجفاف المناخي خلال تلك الفترات قصيرة الأجل على المحصول في أثناء فترة نموه؛ تسبب إجهادًا يتبعه بالضرورة حدوث نقص في الإنتاجية والمساحة المقدرة والمرورية، خاصة وأن المحصول يتم الاستفادة منه على مراحل متتالية أو ما يسمى (حشة أو حشات) متتابعة خلال فترة وجوده بالأرض (٦ شهور تقريباً).

جدول (٦) : علاقة الارتباط بين مؤشر الجفاف SPEI للمناطق الزمنية قصيرة ومتوسطة الأجل وبين إنتاج محصول البرسيم المستديم
ومساحاته المزروعة سنويًا في محافظات الدلتا خلال الفترة ١٩٩٩-٢٠١٥م.

متوسط المساحة (فدان)	% متوسط المساحة	متوسط الإنتاج (طن)	علاقة الارتباط للمساحة	لإنتاج	علاقة الارتباط للمساحة	متوسط الإنتاج (طن)	علاقة الارتباط للمساحة	متوسط الإنتاج (طن)	علاقة الارتباط للمساحة	متوسط الإنتاج (طن)	متوسط الإنتاج (طن)	علاقة الارتباط للمساحة	متوسط الإنتاج (طن)
2.63	27696	1.96	606720	0.11	0.03	0.08	0.00	0.12	0.01	0.33	0.01	الإسكندرية	0.01
15.25	160343	16.52	5119360	*0.54	*0.53	0.41	0.43	0.29	0.33	0.10	0.15	البحيرة	0.10
10.94	115051	9.95	3082889	**0.57	0.38	0.35	0.20	0.48	*0.55	0.55	0.48	الغربية	0.55
12.63	132739	16.15	5005693	**0.73	**0.7	**0.64	**0.63	**0.66	**0.66	**0.66	**0.66	كفر الشيخ	**0.66
15.72	165208	11.79	3652851	*0.5	**0.69	*0.55	*0.71	*0.55	*0.55	**0.66	**0.66	الدقهلية	**0.66
4.67	49072	3.39	1050324	*0.5	**0.74	*0.46	**0.77	0.38	**0.66	**0.66	**0.66	المنيا	**0.66
16.46	173058	17.38	5384959	**0.83	**0.78	**0.66	**0.6	*0.47	*0.44	**0.66	**0.66	الشرقية	**0.66
2.72	28543	2.13	659709	-0.38	-0.23	-0.45	-0.34	-0.41	-0.33	**0.66	**0.66	الإسماعيلية	**0.66
1.27	13347	0.90	279205	**-0.62	**-0.61	**-0.66	**-0.69	*-0.55	**-0.62	**-0.62	**-0.62	بور سعيد	**-0.62
0.53	5579	1.20	371826	-0.15	0.16	-0.26	0.28	-0.15	0.26	0.26	0.26	السويس	0.26
12.66	133062	13.99	4334468	0.39	-0.12	0.17	-0.17	0.02	-0.28	-0.28	-0.28	المنوفية	-0.28
4.36	45836	4.53	1403603	**0.64	**0.66	0.41	0.43	0.29	0.30	0.30	0.30	القليوبية	0.30
0.16	1730	0.11	34998	0.00	-0.04	-0.01	-0.02	0.17	0.14	0.14	0.14	القاهرة	0.14
100	1051263	100	30986606	**0.66	**0.71	*0.46	**0.59	0.34	*0.54	*0.54	*0.54	متوسط الدلتا	*0.54

المصدر: من عمل الباحث اعتماداً على بيانات مؤشر الجفاف، وبيانات وزارة الزراعة واستصلاح الأراضي، قطاع الشئون الاقتصادية، مديرية الزراعة بالمحافظات، سنوات مختلفة.

الخاتمة :

١) النتائج :

- بينت الدراسة وجود اتجاه عام نحو زيادة الجفاف بالنسبة لمتوسط منطقة الدلتا المصرية، وخاصة في جنوب وجنوب غرب منطقة الدلتا، وعلى مستوى كل النطاقات الزمنية خلال السلسلة الزمنية للفترة ١٩٥٠-٢٠١٥، وبخاصة خلال العقد الأول من القرن العشرين، وبدلالة معنوية مرتفعة عند مستوى (٠٠٠١)، لكافة النطاقات الزمنية قصيرة ومتوسطة وطويلة الأجل، والمرتبطة بآثار الجفاف المناخي والزراعي والهيدرولوجي. كما لوحظ وجود اتجاه عام نحو زيادة الجفاف في منطقة الدراسة على المستوى الفصلي دون دلالة معنوية واضحة، خلال شهر فبراير معتبراً عن الجفاف قصير الأجل في الشتاء المترافق خلال الشهور السابقة له، وكذلك شهر نوفمبر معتبراً عن الجفاف قصير الأجل لفصل الخريف، كما أختير شهر مارس معتبراً عن الجفاف متوسط الأجل لنصف السنة الممطر (٦ شهور).
- شهدت منطقة الدراسة معدلات تكرار أعلى لأحداث الجفاف المتطرفة والشديدة والمعتدلة خلال الفترة ١٩٥٠-٢٠١٥، خلال النطاقات الزمنية طويلة الأجل (١٢ و ٢٤ شهراً)، والمسئولة عن الجفاف الهيدرولوجي وأثاره، بنسب معدلات تكرار بلغت %٢ و %٦ و %١٣ على التوالي من إجمالي أحداث الجفاف والرطوبة في منطقة الدراسة، وذلك مقارنة بنسب معدلات تكرار أقل للأحداث الرطبة. بينما على المستوى الزمني قصير ومتوسط الأمد لوحظ زيادة واضحة لمعدلات تكرار أحداث الجفاف المعتدل بنسب بلغت %١٤ تقريراً من إجمالي الأحداث الجافة والرطبة والظروف المعتدلة، وذلك عنها بالنسبة للأحداث الرطبة المعتدلة التي بلغت نسبتها %١٠، كذلك ظهرت معدلات تكرار أعلى قليلاً للأحداث الجافة الشديدة خلال النطاق الزمني المناخي والزراعي متوسط الأمد (٦ و ٩ شهور)، أما على المستوى المناخي والزراعي قصير الأجل (١ و ٣ شهور) فقد تبين زيادة معدلات تكرار الأحداث الرطبة المتطرفة والشديدة ويفارق ليس بغير مقارنة بالأحداث المتطرفة الجافة والشديدة في الدلتا.
- ظهر تركز واضح لتكرار الأحداث المتطرفة الجافة في شمال وجنوب الدلتا، ولأحداث الجفاف الشديدة في وسط وشمال وشمال شرق وجنوب شرق منطقة الدلتا على مستوى النطاقات المناخية قصيرة الأجل (١ و ٣) شهور. أما على مستوى النطاق الزمني متوسط الأمد فقد ظهر تأثر شمال وشمال غرب منطقة الدلتا وبعض أجزاء من شرقها بمعدلات أكبر لتكرار الأحداث المتطرفة الجافة والشديدة، أما على مستوى النطاق الزمني الهيدرولوجي طوبل الأمد (١٢ و ٢٤) شهراً؛ فقد اتضاح تأثر مساحات كبيرة بمعدلات تكرار أكبر للأحداث المتطرفة الجافة والشديدة، خاصة شمال وشمال غرب منطقة الدلتا ووسطها.

- أما على مستوى التطور الزمني لنسب تأثير مساحات السطح في منطقة الدراسة بمعدلات تكرار الأحداث الجافة والرطبة والظروف المعتدلة، فقد ظهر تأثير مساحات أوسع من منطقة الدراسة بالأحداث الجافة المتطرفة والشديدة والمعتدلة مقارنة بالأحداث الرطبة، خاصة خلال النطاقات الزمنية طيبة الأجل، فقد اتضحت على المستوى الزمني قصير الأجل (شهر، وثلاثة أشهر) أن أحداث الجفاف المتطرفة والشديدة تؤثر على مساحات زادت عن نصف مساحة منطقة الدراسة تقريباً، خاصة منذ الثمانينيات، بنسبة بلغت ٦٤٪ و ٧٠٪ عامي ٢٠١٥ و ٢٠١٣ على التوالي. وبالنسبة للنطاق الزمني متوسط الأجل (٦ و ٩) شهور؛ تأثرت أكثر من نصف مساحة منطقة الدراسة خاصة خلال العقد الأول من القرن الواحد والعشرين بأحوال الجفاف المتطرف، أما أحداث الجفاف الشديد فقد زادت مساحة السطح المتأثرة بها في منطقة الدلتا لأكثر من نصف مساحتها، خاصة أوائل القرن الواحد والعشرين؛ حيث بلغت ٩٠٪ عام ٢٠١٣. أما على مستوى النطاق الزمني الهيدرولوجي طويلاً الأجل (١٢ و ٢٤) شهراً، فقد تبين تأثر مساحات أوسع من منطقة الدلتا بلغت ٨١٪ بأحداث الجفاف المتطرف والشديد في شكل موجات طويلة، خاصة خلال العقد الأول والأخير من الفترة ١٩٥٠-٢٠١٥.
- كما أوضحت الدراسة أن هناك اتجاهًا عاماً نحو الزيادة في تكرار أحداث الجفاف المتطرف وبدالة معنوية مرتفعة عند مستوى (٠,٠١) خلال كل النطاقات الزمنية لمؤشر SPEI، ولأحداث الجفاف الشديد بدالة معنوية فقط خلال نطاقات قصيرة وطويلة الأجل (١ و ٣ و ٢٤) شهراً، كما اتضحت الدلالة المعنوية لاتجاه نحو الزيادة في أحداث الجفاف المعتدل خلال أغلب النطاقات الزمنية للمؤشر، في المقابل لوحظ ظهور اتجاه عام نحو النقصان في الأحداث الرطبة المتطرفة والشديدة والمعتدلة، وبمعدلات نقصان أكبر، وبدالة معنوية مرتفعة عند مستوى (٠,٠١) خلال المستويات الزمنية متوسطة وطويلة الأجل (٩ و ١٢ و ٢٤) شهراً، وبدالة أقل خلال المستويات قصيرة الأجل (١ و ٣) شهور.
- كما بينت الدراسة وجود علاقة ارتباط موجبة ودالة إحصائية عند مستوى (٠,٠١) بين مؤشر الجفاف وبين الوجه السالب لنططي تذبذب شمال الأطلسي أو الناو NAO (حيث الظروف الأكثر جفافاً في منطقة جنوب أوروبا وحوض البحر الأبيض المتوسط) على مستوى كافة النطاقات الزمنية قصيرة ومتوسطة وطويلة الأجل، وذلك في أغلب منطقة الدراسة، خاصة شمالها وشمال غربها. كذلك ظهرت علاقة ارتباط سالبة ودالة معنوية عند مستوى (٠,٠١) في أغليها بين المؤشر وبين نمط التذبذب الجنوبي SOI، المعبر عن ظاهرة النينو على مستوى كافة النطاقات الزمنية، ويتكرز واضح في شرق وشمال شرق منطقة الدلتا المصرية، أيضاً اتضحت دلالة العلاقة الارتباطية الموجبة عند مستوى (٠,٠١) و (٠,٠٥) بين مؤشر

الجاف ونمط تذبذب البحر المتوسط (القاهرة - الجزائر) MOI، واقتصرت الدلالة المعنوية للارتباط بين الجاف ونمط تذبذب غرب البحر المتوسط WEMOI خلال النطاق قصير الأمد (١ و ٣) شهور، بينما ضعفت علاقة الارتباط بين مؤشر الجاف ونمطي تذبذب شرق الأطلسي غرب روسيا EAWR، وتذبذب شرق الأطلسي EA، وقد اتفقت تلك النتائج مع نتائج عديد الدراسات الإقليمية، خاصة داخل منطقة حوض البحر المتوسط.

- أما بالنسبة لعلاقة الارتباط الجزئي بين مؤشر الجاف SPEI وبين بعض عناصر المناخ في منطقة الدلتا، فكان ضعف الارتباط مع ضعف الدلالة المعنوية هي السائدة لأنغلب العناصر المناخية (كل سلسل البيانات الشهرية)، عدا عنصر المطر في كافة النطاقات الزمنية، وبشكل أوضح للنطاقين الزمنيين (١ و ٣ شهور)، مما يشير إلى أهمية المطر في أحداث الجاف في منطقة الدراسة، خاصة شرق وشمال شرق منطقة الدلتا؛ حيث مع زيادة المطر يقل الجاف والعكس، كما تبين وجود زيادة في مقدار الارتباط الجزئي بين المطر وأغلب العناصر وبين مؤشر SPEI عنه في الارتباط البسيط، وذلك بعد عزل أو تثبيت أثر بقية العناصر بشكل غير ظاهر إحصائياً، وذلك في إطار العلاقة البيئية المتداخلة والمعقدة، مما يبين أهمية استخدام الارتباط الجزئي في الدراسات الجغرافية والمناخية منها.

- أكدت الدراسة على وجود تأثير واضح لأحداث الجاف خلال المستويات قصيرة ومتوسط الأجل (١ و ٣ و ٦) شهور على إنتاجية القمح ومساحته (فترة زراعته ٦ شهور تقريباً) في محافظات الدلتا المصرية خلال الفترة ٢٠١٥-٢٠٠٠، حيث اتضحت العلاقة الارتباطية بين مؤشر الجاف وإنتاجية ومساحة محصولي القمح والبرسيم المستديم الشتوىين ذات الدلالة المعنوية لحوالي نصف محافظات الدلتا، خاصة محافظة الدقهلية والغربية وكفر الشيخ، نتيجة تعرض الدلتا لأشد حالات الجاف خلال تلك الفترة، ونتيجة الآثار التي يسببها الجاف المناخي خلال تلك الفترات قصيرة الأجل على المحصول في أثناء فترة نموه؛ بسبب إجهاداً يتبعه بالضرورة حدوث نقص في الإنتاجية والمساحة المقدرة والمروية، خاصة وأن البرسيم المصري المستديم يتم الاستفادة منه على مراحل متتالية أو ما يسمى (حشات) متتابعة خلال فترة وجوده بالأرض (٦ شهور تقريباً).

(٢) التوصيات :

في ضوء نتائج الدراسة، يمكن التوصية بما يلي: - ضرورة الاستفادة من مؤشرات الجاف، باعتبارها أدوات مهمة جداً للبحث والإدارة البيئية في المناطق الفاقحة، فقيمهما ليست فقط مهمة لقياس التباين الزمني المكاني لأحداث الجاف

- وتحديده؛ ولكن هي أيضًا أدوات مفيدة لتوجيه متذبذبي القرار لإعلان الطوارئ في حالات الجفاف، وتصميم خطط مختلفة للتخفيف من التأثير.
- ضرورة تكافف الجهود البحثية الأكاديمية والحكومية بين الجهات المختصة والمراكز البحثية؛ لإنشاء قواعد بيانات تفصيلية للجفاف ومؤشراته، وبيانات مكانية عالية تصل إلى أمتار، ولفترات زمنية طويلة الأمد ومحنة باستمرار، وذلك للمناطق الزراعية في مصر: الدلتا، والواadi، والساحل الشمالي الغربي، وشمال سيناء، وكذلك مناطق الجريان المائي المتتفق النسبي في جنوب سيناء، وجبل البحر الأحمر، وغيرها، بهدف الرصد والمراقبة المستمرة لحالات الجفاف والرطوبة في تلك المناطق المهمة، خاصة في ظل العجز المائي الذي تشهده مصر من مياه نهر النيل.
 - دراسة مؤشرات الجفاف المناخي والزراعي على مستويات شهرية وفصلية وتأثيرها على الغطاء النباتي ومدى تمدده أو انكماسه عبر فترات زمنية طويلة الأمد، وجودة كافة المحاصيل الزراعية وإنتاجيتها؛ وذلك على نطاقات مكانية دقيقة (حوض زراعي أو عزبة أو قرية)، وكذلك مؤشرات الجفاف الهيدرولوجي وتأثيرتها على مستويات التخزين المائي، والمياه الجوفية، ومناسبات البحيرات، والخزانات، والترع وغيرها.
 - يقترح في نهاية الدراسة دراسة العلاقة الارتباطية (بطريقة الارتباط الجزئي) بين مؤشرات الجفاف وعدد أكبر من العناصر المناخية الأخرى كالرياح والإشعاع الشمسي والسحب خلال فترات زمنية طويلة الأمد.
 - التأكيد على أهمية تسجيل وحصر بيانات المساحة والإنتاج والإنتاجية الزراعية للمحاصيل الزراعية المختلفة في الدلتا المصرية وبقية مناطق الجمهورية المعهورة بدقة وواقعية وموضوعية بالغة، وذلك على مستوى نطاقات مكانية دقيقة، بما يمكن من استخدامها عند دراسة أثر الجفاف وغيرها من المظاهر المناخية على الزراعة وأنشطتها.
 - أهمية الرصد والمتابعة المستمرة والتسجيل لمستويات المياه في الترع والقنوات المائية، والمياه الجوفية ومستوياتها، وكذلك رطوبة التربة وقياسها بشكل دقيق، لتوفير بيانات دقيقة وحقيقة موضوعية، تؤيد عند الحاجة في تقييم آثار الجفاف الهيدرولوجي في منطقة الدراسة ومناطق تركيزه، وبالتالي وضع الخطط الحالية والمستقبلية لمواجهته.

المراجع

أولاً : المراجع باللغة العربية.

١. إبراهيم، محمد محمد عبد العال (٢٠١٤)، الأقلمة المكانية لعلاقات الارتباط بين تغيرات الأمطار في مصر وأهم أنماط دوران الغلاف الجوي خلال الفترة ١٩٦١-٢٠٠٦، المؤتمر السنوي الدولي لمعهد البحث والدراسات الأفريقية - الآثار المحتملة للتغيرات المناخية على القارة الأفريقية، جامعة القاهرة، ١٨-٢٠ مايو، الجزء الأول، ص ص ٦٨٣-٧١٩.
٢. إبراهيم، محمد محمد عبد العال (٢٠١٨)، الاتجاهات طويلة الأمد لتطرفات الحرارة اليومية في الدلتا المصرية دراسة خلال الفترة ١٩٦٠-٢٠١٠ دراسة مناخية، سلسلة بحوث جغرافية، العدد ١١١، الجمعية الجغرافية المصرية، القاهرة.
٣. إبراهيم، محمد محمد عبد العال (٢٠١٢)، التغيرات المناخية لأمطار السواحل المصرية دراسة في الجغرافيا المناخية، رسالة دكتوراه، قسم الجغرافيا، كلية الآداب، جامعة المنصورة.
٤. أبو راضي، فتحي عبد العزيز (١٩٧٢)، الجغرافيا المناخية للدلتا، رسالة ماجستير غير منشورة، قسم الجغرافيا، كلية الآداب، جامعة الإسكندرية، الإسكندرية.
٥. أبوراضي، فتحي عبد العزيز (٢٠٠٠)، مقدمة الأساليب الكمية في الجغرافيا، دار المعرفة الجامعية، الإسكندرية، ٢٠٠٠، ص ٤٦٣.
٦. بدوي ، هشام داود صدقى (٢٠١٢)، أثر المناخ على التصحر في شرق وغرب الدلتا المصرية دراسة في جغرافية المناخ التطبيقي باستخدام نظم المعلومات الجغرافية، رسالة دكتوراه ، قسم الجغرافيا، كلية الآداب، جامعة المنصورة، المنصورة.
٧. حسان، وليد عباس عبد الراضي (٢٠٠٩)، التغير في بعض عناصر المناخ بדלתا النيل خلال القرن العشرين دراسة باستخدام نظم المعلومات الجغرافية، رسالة دكتوراه، قسم الجغرافيا، كلية الآداب، جامعة عين شمس، القاهرة.
٨. خير، صفحون (٢٠٠٠)، الجغرافيا موضوعها ومناهجها وأهدافها، دار الفكر، دمشق، سوريا، ٢٠٠٠، ص ص ٣٠٥-٣٠٦.
٩. صفي الدين، محمد (١٩٩٨)، مورفولوجية الأراضي المصرية، الطبعة الأولى، دار غريب للطباعة والنشر ، القاهرة، ص ٢٢٣.
١٠. فتحي، محمد فريد (٢٠٠٠)، في جغرافية مصر، الطبعة الثانية، دار المعرفة الجامعية، الإسكندرية، ص ص ٩٨-٩٩.

١١. مجذ، زينهم السيد إبراهيم (٢٠٠٧)، المخاطر المناخية وأثرها على الزراعة في الهوامش الغربية لדלתا النيل، رسالة ماجستير غير منشورة، كلية الآداب، جامعة طنطا، طنطا.
١٢. المنظمة العالمية للأرصاد الجوية (٢٠١٢)، دليل مستخدمي المؤشر المعياري للهطول، مطبوع رقم ISBN 978-92-63-61090-4، ١٠٩٠.
١٣. موسى، محمد عيد (٢٠٠٣)، المناخ وأثره على المحاصيل الرئيسية بين فرعى دمياط ورشيد، رسالة دكتوراه غير منشورة، كلية الآداب - فرع بنها - جامعة الزقازيق، الزقازيق.
١٤. وزارة الزراعة واستصلاح الأراضي، قطاع الشئون الاقتصادية، مديرية الزراعة بالمحافظات، سنوات مختلفة.
١٥. وزارة الزراعة واستصلاح الأراضي، مركز البحوث الزراعية، الإدارية المركزية للإرشاد الزراعي (٢٠٠١)، البرسيم المصري، نشرة رقم ٧١٦.
١٦. وزارة الزراعة واستصلاح الأراضي، مركز البحوث الزراعية، الإدارية المركزية للإرشاد الزراعي (٢٠٠٧)، البرسيم المصري، نشرة رقم ١٠٧٧.
١٧. وزارة الزراعة واستصلاح الأراضي، مركز البحوث الزراعية، الإدارية المركزية للإرشاد الزراعي (٢٠٠٣)، زراعة القمح في الأراضي القديمة (أراضي الوادي)، نشرة رقم ٨٣٨.
١٨. وزارة الزراعة واستصلاح الأراضي، مركز البحوث الزراعية، الإدارية المركزية للإرشاد الزراعي (٢٠١٤)، زراعة القمح في الأراضي القديمة (أراضي الوادي)، نشرة رقم ١٣٣٢.

ثانياً : المراجع باللغة غير العربية.

- Alam N.M., Sharma G.C., Moreira E., Jana C., Mishra P.K., Sharma N.K., Mandal D. (2017): Evaluation of drought using SPEI drought class transitions and log-linear models for different agro-ecological regions of India, Phys. Chem. Earth, Parts A/B/C.
- Alexander L.V., et al. (2006): Global observed changes in daily climate extremes of temperature and precipitation, Journal of Geophysical Research, Vol. 111, D05109, doi:10.1029/2005JD006290.
- Bae S., Lee S., Yoo S., Kim T. (2018): Analysis of Drought Intensity and Trends Using the Modified SPEI in South Korea from 1981 to 2010, Water, 10, 327.
- Benitez J.B., Domecq R.M. (2014): Analysis of meteorological drought episodes in Paraguay, Climatic Change, 127:15–25.
- Bohn V.Y, Piccolo M.C. (2018): Standardized Precipitation Evapotranspiration Index (SPEI) As A tool to Determine The Hydrological Dynamic of Plain Regions (Argentina), São Paulo, UNESP, Geociências, Vol. 37, No. 3, pp. 627-637.

6. Bulletin of the Meteorological Society (BAMS) (2004): American Meteorological Society (AMS): Statement on Meteorological Drought, Bull. Am. Meteorol. Soc., 85: 771-773.
7. Cook B.I, Anchukaitis K.J, Touchan R., Meko D.M., Cook, E.R. (2016): Spatio-temporal drought variability in the Mediterranean over the last 900 years, Journal of Geophysical Research: Atmospheres 10.1002/2015JD023929.
8. Criado-Aldeanueva F., Soto-Navarro F.J. (2013): The Mediterranean Oscillation Teleconnection Index: Station-Based versus Principal Component Paradigms, Advances in Meteorology, Volume 2013, Article ID 738501.
9. Dai, A. (2011): Drought under global warming: A review, Wiley Interdiscip. Rev. Clim. Chang., 2: 45-65.
10. Donat M.G. et al. (2013): Changes in extreme temperature and precipitation in the Arab region: long-term trends and variability related to ENSO and NAO, Int. J. Climatol., DOI: 10.1002/joc.3707.
11. Edossa D.C., Woyessa Y.E., Welderufael W.A. (2014): Analysis of Droughts in the Central Region of South Africa and Their Association with SST Anomalies, International Journal of Atmospheric Sciences, Volume 2014.
12. ESPERE, cited (2006): Climate encyclopedia—Food and climate. [Available online at <http://espere.mpch-mainz.mpg.de/documents/pdf/>.
13. Ficklin D.L., Maxwell J.T., Letsinger S.L., Gholizadeh H. (2015): A climatic deconstruction of recent drought trends in the United States, Environ. Res. Lett., 10, 044009.
14. Fiorillo F., and Guadagno F.M., (2010): Karst spring discharges analysis in relation to drought periods, using the SPI, Water Resour. Manage., 24.
15. Garcia-Ruiz J. M., Lopez-Moreno J. I., Vicente-Serrano S. M., Lasanta-Martinez T., Begueria S. (2011): Mediterranean water resources in a global change scenario, Earth Sci. Rev., 105(3-4): 121-139, doi:10.1016/j.earscirev.2011.01.006.
16. Hannaford J., Lloyd-Hughes B., Keef C., Parry S., Prudhomme C. (2011): Examining the large scale spatial coherence of European drought using regional indicators of precipitation and streamflow deficit, Hydrol. Proc., 25.
17. Hasanean H.M. (2004): Wintertime Surface Temperature in Egypt in Relation to The Associated Atmospheric Circulation, Int. J. Climatol. 24: 985-999.
18. Hernandez E.A., Uddameri V. (2014): Standardized precipitation evaporation index (SPEI)-based drought assessment in semi-arid south Texas, Environ Earth Sc., i 71(6):2491–2501. <https://doi.org/10.1007/s12665-013-2897-7>.
19. Hoerling M., Eischeid J., Perlitz J., Quan X., Zhang T., Pegion P. (2012): On the Increased Frequency of Mediterranean Drought, Journal of Climate, Vol. 25, 15 March.
20. Hoerling M., Kumar A. (2003): The perfect ocean for drought, Science, 299.
21. <http://www.bom.gov.au/climate/current/soihtml.shtml>
22. <http://www.ub.edu/gc/English/wemo.htm>
23. <https://crudata.uea.ac.uk/cru/data/moi/>
24. <https://spei.csic.es/database.html#p1>
25. <https://www.cpc.ncep.noaa.gov/data/teledoc/nao.shtml>

26. Iglesias, A., Garrote L., Flores F., Moneo M. (2007): Challenges to manage the risk of water scarcity and climate change in the Mediterranean, Water Resour. Manage., 21(5): 775-788, doi:10.1007/s11269-006-9111-6.
27. Ionita M., Boroneanț C., Chelcea S. (2015): Seasonal modes of dryness and wetness variability over Europe and their connections with large scale atmospheric circulation and global sea surface temperature, Clim. Dyn., DOI 10.1007/s00382-015-2508-2.
28. Ismael H. (2016): Monitoring drought trends induced climate variability over Egypt using MODIS NDVI satellite data and Drought Indices, Bulletin of the Egyptian geographical society, Vol. 89, pp. 91-121.
29. Kenawy A., Lopez Moreno J.I., Vicente Serrano S.M., Abdelaal M. (2010): Temperature Variability along the Mediterranean Coast and its links to large-scale atmospheric Circulations (1957-2006), Bulletin of the Egyptian Geographical Society, Vol. 83.
30. Kostopoulou E., Jones P.D.(2005): Assessment of climate extremes in the Eastern Mediterranean, Meteorol. Atmos. Phys., 89: 69-85.
31. Koutroulis A.G., Vrohidou A.K., Tsanis I.K. (2011): Spatiotemporal Characteristics of Meteorological Drought for the Island of Crete, Journal of Hydrometeorology, Vol. 12.
32. Lee J.H., Seo J.W., Kim C.J. (2012): Analysis on trends, periodicities and frequencies of Korean drought using drought indices, J. Korea Water Resour. Assoc., 45: 75-89.
33. Li X., He B., Quan X., Liao Z., Bai X. (2015): Use of the Standardized Precipitation Evapotranspiration Index (SPEI) to Characterize the Drying Trend in Southwest China from 1982-2012, Remote Sensing, 7, 10917-10937; doi:10.3390/rs70810917.
34. Liang L., Shu-he Z., Zhi-hao Q., Ke-xun H., Chong C., Yun-xiao L. Xing-dong Z. (2014): Drought Change Trend Using MODIS TVDI and Its Relationship with Climate Factors in China from 2001 to 2010, Journal of Integrative Agriculture, 13(7): 1501-1508.
35. Liu Y., Guo M., Wang X., Tani H., Yi K. (2011): Analysis the Impact of Drought on NDVI in Drought Periods Combined with Climate factors and Land Cover in Southwest China, Conference: 34nd International Symposium on Remote Sensing of Environment, At Sydney, Australia, April.
36. Lopez-Moreno J.I., Vicente-Serrano S.M. (2008): Extreme phases of the wintertime North Atlantic oscillation and drought occurrence over Europe: a multi-temporal-scale approach, J. Clim., 21: 1220-1243.
37. Manzano A., et al. (2019): Analysis of the atmospheric circulation pattern effects over SPEI drought index in Spain, Atmospheric Research, 24 July, 104630.
38. Mathbout S., Lopez-Bustins J.A., Martin-Vide J., Bech J., Rodrigo F.S. (2018): Spatial and temporal analysis of drought variability at several time scales in Syria during 1961-2012, Atmospheric Research, Vol. 200, 1 February.
39. McAuliffe J.R., Hamerlynck E.P. (2010): Perennial plant mortality in the Sonoran and Mojave deserts in response to severe, multi-year drought, J. Arid Environ., 74: 885-896.

40. Miksovsky J., Brazdil R., Trnka M., PiSoft P. (2019): Long-term variability of drought indices in the Czech Lands and effects of external forcings and large-scale climate variability modes, *Climate of the Past*, 15: 827-847.
41. Mishra A.K., Singh V.P. (2010): A review of drought concepts, *Journal of Hydrology*, Volume 391, Issues 1–2, 14 September, pp. 202-216.
42. Mohamed E.E.E., Hussein M.M.A. (2014): Observed changes in minimum and maximum temperatures in Nile Delta, Egypt in 20th century. *Journal of King Abdul-Aziz University: Marine Science*. 25(1): 117-140.
43. Nashwan M.S., Shahid S., Abd Rahim N.(2019): Unidirectional trends in annual and seasonal climate and extremes in Egypt, *Theoretical and Applied Climatology*, April, 136(1-2): 457-473.
44. Nezhad M.E., Bazrafshan O., Bazrafshan J. (2018): Spatio-temporal variations of meteorological drought using Standardized Precipitation Evapotranspiration Index in Iran, *Journal of Agricultural Meteorology*, Vol. 5, No. 2, Autumn & Winter, pp. 35-46.
45. Páscoa P., Gouveia C.M., Russo A., Trigo R.M. (2017): Drought Trends in the Iberian Peninsula over the Last 112 Years, *Advances in Meteorology*, Volume, Article ID 4653126, 13 pages.
46. Pasho E., Camarero J.J., de Luis M., Vicente-Serrano S.M. (2011): Impacts of drought at different time scales on forest growth across a wide climatic gradient in north-eastern Spain, *Agric. For. Meteor.*, 151: 1800-1811.
47. Paulo A.A., Rosa R.D., Pereira L.S. (2012): Climate trends and behaviour of drought indices based on precipitation and evapotranspiration in Portugal, *Nat. Hazards Earth Syst. Sci.*, 12: 1481-1491.
48. Polong F., Chen H., Sun S., Ongoma V. (2019): Temporal and spatial evolution of the standard precipitation evapotranspiration index (SPEI) in the Tana River Basin, Kenya, *Theoretical and Applied Climatology*, 17 April.
49. Potop V., Mozny M (2011): The application a new drought index-standardized precipitation evapotranspiration index in the Czech Republic. In: *Mikroklima a mezoklima krajinnych structur a antropogennich prostredi*, Vol. 2.
50. Rahmat S.N., Jayasuriya N., Bhuiyan M. (2012): Trend analysis of drought using Standardised Precipitation Index (SPI) in Victoria, Australia, 34th Hydrology and Water Resources Symposium 19-22 November 2012, Sydney, Australia.
51. Rajsekhar D., Singh V.P., Mishra A.K. (2015): Multivariate drought index: An information theory based approach for integrated drought assessment. *J. Hydrol.*, 526: 164-182.
52. Sayari N., Bannayan M., Alizadeh A., Farid A. (2013): Using drought indices to assess climate change impacts on drought conditions in the northeast of Iran (case study: Kashafrood basin), *Meteorological Applications*, 20: 115-127.
53. Schubert S.D., Wang H., Koster R.D., Suarez M.J., Groisman P.Y. (2014): Northern Eurasian heat waves and droughts, *J. Clim.*, 27: 3169-3207.
54. Sneyers R. (1990): On statistical analysis of series of observations, WMO Technical note No. 143, WMO No. 145. Geneva, Switzerland, 192 pp.
55. Spinoni J., et al. (2019): A new global database of meteorological drought events from 1951 to 2016, *Journal of Hydrology: Regional Studies*, 22.

56. Tao H., Borth H., Fraedrich K., Su B., Zhu X. (2014): Drought and wetness variability in the Tarim River Basin and connection to large scale atmospheric circulation, *Int. J. Climatol.*, 34:2678–2684doi:10.1002/joc.3867.
57. Thornthwaite C.W. (1948): An approach toward a rational classification of climate, *Geogr. Rev.*, 38: 55-94.
58. Vergni L., Todisco F. (2011): Spatio-temporal variability of precipitation, temperature and agricultural drought indices in central Italy, *Agric. For. Meteorol.*, 151: 301-313.
59. Vicente-Serrano S.M., Beguería S., Lopez-Moreno J.I. (2010a): A Multiscalar Drought Index Sensitive to Global Warming: The Standardized Precipitation Evapotranspiration Index, *Journal of Climate*, Vol. 23, pp. 1696-1718.
60. Vicente-Serrano S.M., Beguería S., Lorenzo-Lacruz J., Camarero J.J., López-Moreno J.I., Azorin-Molina C., Revuelto J., Morán-Tejeda E., Sanchez-Lorenzo A.(2012): Performance of drought indices for ecological, agricultural, and hydrological applications. *Earth Interactions*, 16: 1-27.
61. Vicente-Serrano S. M., et al. (2016a): The complex influence of ENSO on droughts in Ecuador, *Climate Dynamics*, March, 10.1007/s00382-016-3082-y.
62. Vicente-Serrano S.M. (2011): A multiscalar global evaluation of the impact of ENSO on droughts, *Journal of Geophysical Research*, Vol. 116, D20109.
63. Vicente-Serrano S.M., Beguería s., Lopez-Moreno J.I., Angulo M., El Kenawy A. (2010b): A New Global 0.58 Gridded Dataset (1901–2006) of a Multiscalar Drought Index: Comparison with Current Drought Index Datasets Based on the Palmer Drought Severity Index, *Journal of Hydrometeorology*, Vol. 11.
64. Vicente-Serrano S.M., et al. (2016b): The Westerly Index as complementary indicator of the North Atlantic oscillation in explaining drought variability across Europe, *Clim. Dyn.*, 47:845–863, DOI 10.1007/s00382-015-2875-8.
65. Vogt J.V., Naumann G., Masante D., Spinoni J., Cammalleri C., Eriani W., Pischke F., Pulwarty R., Barbosa P. (2018): Drought Risk Assessment. A conceptual Framework. EUR 29464 EN, Publications Office of the European Union, Luxembourg, ISBN 978-92-79-97469-4, JRC113937.
66. Wang H., Chen Y., Pan Y., Li, W. (2015a): Spatial and temporal variability of drought in the arid region of China and its relationships to teleconnection indices, *J. Hydrol.*, 523: 283-296.
67. Wang H., Chen Y., Pan Y. (2015b): Characteristics of drought in the arid region of northwestern China, *Climate Research*, 62: 99-113.
68. Wang Q. et al.(2014)Temporal-spatial characteristics of severe drought events and their impact on agriculture on a global scale, *Quaternary International*, Volume 349, 28 October, pp. 10-21.
69. Wilhite, D. A., Eds., (2000): Drought as a natural hazard: Concepts and definitions. *Drought: A Global Assessment*, Natural Hazards and Disasters Series, Vol. 2, Routledge Publishers, pp. 3-18.
70. World Meteorological Organization (WMO), The Global Water Partnership (GWP), National Drought Mitigation Center (NDMC) (2016): *Handbook of Drought Indicators and Indices, Integrated Drought Management Programme (IDMP)* WMO-No. 1173.

71. Yagoub Y.E. et al. (2017): Detection of Drought Pattern in Sudan Using Standardized Precipitation-Evapotranspiration Index (SPEI), International Journal of Recent Advances in Multidisciplinary Research, Vol. 4, Issue 4, pp. 2546-2554, April.
72. Yang J., Gong D., Wang W., Hu M., Mao R. (2012): Extreme drought event of 2009/2010 over southwestern China, Meteorol. Atmos. Phys., 115.
73. Yao J., Tuoliewubieke D., Chen J., Huo W., Hu W. (2019): Identification of Drought Events and Correlations with Large-Scale Ocean–Atmospheric Patterns of Variability: A Case Study in Xinjiang, China, Atmosphere, 10, 94.
74. Yao J., Zhao Y., Yu X. (2018): Spatial-temporal variation and impacts of drought in Xinjiang (Northwest China) during 1961-2015, PeerJ, 6,e4926.
75. Yihdego Y., Vaheddoost B., Al-Weshah R.A. (2019): Drought indices and indicators revisited, Arabian Journal of Geosciences, 12, 69.
76. Yu M., Li Q., Hayes M.J., Svoboda M.D., Heim R.R. (2014): Are droughts becoming more frequent or severe in China based on the standardized precipitation evapotranspiration index: 1951-2010? Int. J. Climatol., 34.
77. Zhang X., et al. (2005): Trends in Middle East climate extreme indices from 1950 to 2003, Journal of Geophysical Research, Vol. 110, D22104, doi:10.1029/2005JD006181.
78. Zhang L., Xiao J., Li J., Wang K., Lei L., Guo H. (2012): The 2010 spring drought reduced primary productivity in southwestern China, Environ. Res. Lett, 7, 045706.

Changes in Meteorological and Hydrological Drought and their Connection to Atmospheric Circulation over the Egyptian Delta from 1950 to 2015

Dr. Mohamed Mohamed Abdelaal Ibrahim

Lecturer at Physical Geography, Social Studies Department
Faculty of Education, Mansoura University

ABSTRACT

Drought is a complex natural hazard, with adverse environmental and socioeconomic impacts (e.g. hydrology, water resources, crop failure, biodiversity, etc). Many regions worldwide have suffered from frequent and intense drought episodes over the past few decades. This study endeavors to assess long-term spatial and temporal changes of meteorological and hydrological droughts Comparing to wet events in the delta: one of the hotspot regions in Egypt in terms of population weight and economic significance. This assessment was made for the period from 1950 to 2016 using the Standardized Precipitation Evapotranspiration Index (SPEI), which accounts for different input climatic variables (e.g. air temperature, precipitation, wind speed, air pressure, sunshine insolation and relative humidity). Which has been calculated using the gridded CRU TS 3.23 dataset, where the delta was represented by 22 grids. The SPEI was calculated at different time scales (1-, 3-, 6-, 9-, 12-, and 24-month), allowing for characterizing both meteorological, hydrological and agricultural impacts of recent climate change in the delta. Changes in drought frequency were assessed using the non-parametric Spearman' rho statistic. Overall, results suggest a statistically significant increase in drought frequency over the 66-yr study period. This positive trend was more pronounced in the southern and southwestern portions of the delta. Drought variability was also linked to a set of leading atmospheric circulation patterns, which mostly explain climate variability in the extratropical and midlatitude regions, including the North Atlantic Oscillation (NAO), the Southern Oscillation Index (SOI), and the Mediterranean Oscillation Index (MOI). Results indicate that there is a statistically significant association between drought variability and the investigated circulation patterns at the 95% significance level ($p<0.05$). In order to assess the relative contribution of the different climatic variables to drought evolution, we applied the partial correlation analysis. Results demonstrate that rainfall is the most dominant variable contributing to drought evolution in the delta. We also assessed the impacts of drought variability on crop failure in the delta from 2000 to 2015, with a particular emphasis on wheat and grazing clover. These impacts were verified, especially for governorates of large area and high crop yield.

Key Words: Drought; SPEI; Trend; Atmospheric Circulation; Egyptian Delta.